

TEHNIMUM

INTERNATIONAL

REVISTA PENTRU
CONSTRUCTOРИ
AMATORI

FONDATĂ ÎN 1970. SERIE NOUĂ
ANUL XXIX. NR. 315

Atelier
**MEGAFON
PORTABIL**

Electronică auto
ALARMA

Audio
**PREMAGNETIZAREA
DINAMICĂ
A BENZII
MAGNETICE**

Laborator școlar
**STUDIU
CIRCUITELOR
OSCILANTE**

Divertisment
**SUNETE
SI CULORI**

IANUARIE
1999
PRET 200 LEI

MEGAFON



PORTABIL

Cunoaștem cu toții aceste portavoci electronice, necesare în activitățile sportiv-culturale, mai nou și... greviste. Problema esențială a acestor megafoane portabile este autonomia surselor de alimentare, și nu calitatea lor sonoră. Cu alte cuvinte, randamentul constituie parametrul lor fundamental: emiterea unei puteri sonore mari, la un consum cât mai redus. Acest imperativ condiționează, în principal, alegerea difuzorului. Vom începe, deci, prin studierea acestui aspect al problemei.

CALITĂȚILE ȘI DEFECTELE DIFUZOARELOR ELECTRODINAMICE

Într-un difuzor cu bobină mobilă (fig. 1), magnetul permanent de formă inelară, A, generează un câmp magnetic constant. Într-un interval de formă inelară se află o bobină mobilă B, solidată cu membrana M. La trecerea unui curent de audio-frecvență, câmpul magnetic creat de bobină mobilă va interacționa cu câmpul magnetic permanent al magnetului. Va apărea o mișcare axială înainte-înapoi a bobinei, în funcție de polaritatea tensiunii de audiofrecvență aplicată. O dată cu mișcarea bobinei se produce și mișcarea membranei. În acest fel, undele acustice se creează în ritmul mișcării membranei și, deci, al semnalului de audiofrecvență aplicat. Se obține astfel transformarea semnalelor electrice de audiofrecvență în oscilații mecanice acustice.

La un difuzor se caută două calități – din păcate, contradictorii. Mai întâi, o reproducere fidelă a frecvențelor într-o bandă cât mai largă (de la 20Hz la 16 000 Hz). După aceea, un randament ridicat, cu alte cuvinte un raport cât mai mare posibil între puterea sonoră P_s eliberată de difuzor și puterea electrică P_e primită de acesta.

Acest ultim aspect al problemei se reduce la adaptarea impedanței acustice a membranei la impedanța mediului

ambiant (este o problemă de aceeași natură ca adaptarea impedanțelor electrice pentru transmiterea puterii maxime).

O adaptare bună se poate obține prin folosirea difuzoarelor cu pâlnie, la care unda se propagă de la sursă către ieșire. Pentru o sursă aproape punctuală, calculele arată că distorsiunile se micșorează dacă se alege o pâlnie exponentială, ca în fig. 2. Datorită adaptării bune a impedanțelor mecanice și a rezistențelor slabe la transportul de energie, difuzoarele cu pâlnie au randamente foarte ridicate, de la 40% la 50%, fata de câteva procente pentru difuzoarele de tipul „înaltă fidelitate”. Aceasta este principala lor avantaj. Ca dezavantaj, ele au o bandă de trecere limitată, de la câțiva Hz la câțiva kHz. Din cauza acestei limitări, se înlocuiește configurația din fig. 2 prin cea din fig. 3, la care pâlnia este dublată. Difuzoarele de acest tip se caracterizează printr-o directivitate importantă și o robusteză mare, mai ales în condiții de lucru vîtrege.

AMPLIFICATORUL DE PUTERE

Pentru a reduce limitările specificate anterior și pentru simplificarea construcției, este logic să folosim un amplificator cu circuite integrate, din care se găsesc ușor numeroase tipuri. În cazul de față am optat pentru circuitele integrate β A741 și TDA2002. Schema de principiu a montajului este prezentată în fig. 4. Semnalele de ieșire de la microfonul cu electret sunt transmise amplificatorului operational C11 prin condensatorul C7. Câstigul amplificatorului este fixat de raportul rezistenței R8, pe de o parte, și de R9 împreună cu potențiometrul P, pe de altă parte. El poate fi reglat cu ajutorul lui P. Deoarece C11 se alimentează la o tensiune unică, intrarea sa neinvărsată se

polarizează la aproape 7V prin divizorul R_6/R_7 decuplat de condensatorul C8. Semnalul de ieșire disponibil la bornele lui R10 se aplică prin C1 la intrarea lui C12 (amplificatorul de putere). Grupul C5, R3 contribuie la stabilitatea în frecvență (suprimă frecvențele înalte), iar condensatorul C3 decuplează sursa de alimentare. Tensiunea de alimentare a microfonului cu electret este de circa 6V, la capătul rezistorului R4.

Această valoare este obținută cu ajutorul diodei Zener DZ, polarizată

Fig. 1

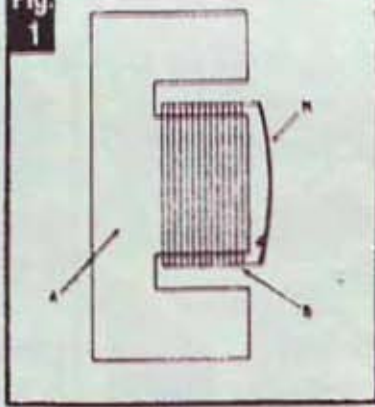


Fig. 2

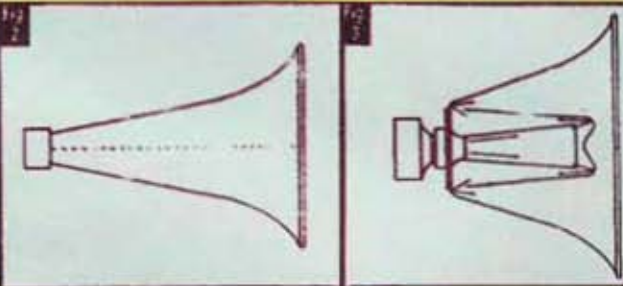
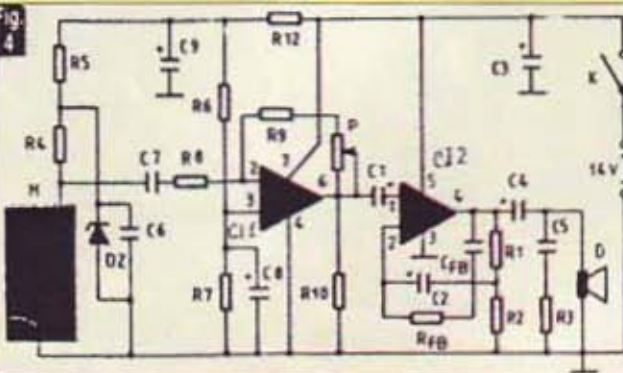


Fig. 4





zata de R5 și decuplată cu C6. Pentru circuitele preamplificatorului, R12 și C9 asigură un decuplaj suplimentar. Tensiunea de alimentare de 14V corespunde cu aceea livrată normal de o baterie auto când alternatorul funcționează. Pentru varianta portabilă se pot folosi trei baterii de 4,5V inserate.

CIRCUITUL IMPRIMAT

La proiectarea și realizarea circuitului imprimat al amplificatorului trebuie luat în considerare faptul că terminalele circuitului integrat de putere sunt foarte apropiate unele de altele, iar ieșirea, care vehiculează seminale de amplitudine mare, este vecină cu intrarea, care primește seminale foarte slabe sub impedanță mare. Ca atare, există riscuri mari de acrosaj.

Indeosebi prin cuplaje capacitive. Aceste riscuri se pot minimaliza printr-o dispozitivă riguroasă a pistelor circuitului imprimat și o aranjare corectă a componentelor. De aceea, prezintă în fig. 5 circuitul imprimat și implantarea componentelor la scara 1:1. TDA 2002 este plasat pe un radiator mic, cu aripi care, de 35 mm înălțime,

căștigului, este fixat pe capota metalică de protecție și legat la circuit prin două conectori care sunt mai scurte. Microfonul cu electret, de asemenea conectat prin două fire, este plasat într-un tub mic de plastic cu lungimea de 4–5 cm. Evident, constructorul amator poate schimba schema amplificatorului în funcție de piesele pe care le posedă.

MONTAJUL FINAL

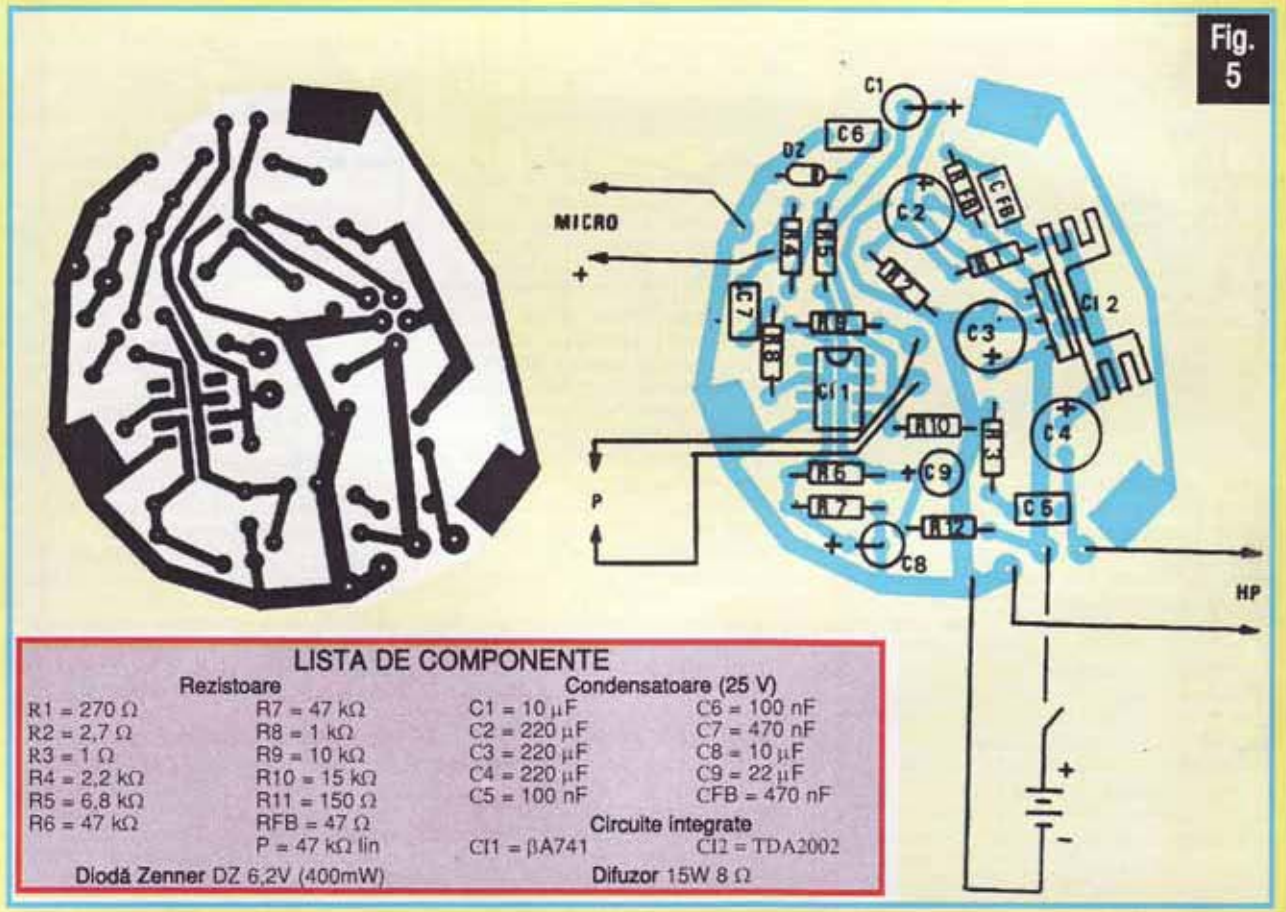
După cum arată fotografia, fundul pâlniei, din plastic turnat, comportă trei pinteri dispusi în triunghi și trei găuri pentru șuruburile de fixare la capota metalică a megafonului. Pentru a nu îngreuna eventuala reparație, fixarea circuitului imprimat pe ansamblul construcției se face cu ajutorul a trei pastile de plastic, prin lipire cu adeziv. Potențiometrul P, de reglare a

ALIMENTAREA APARATULUI

Tensiunea de alimentare nu este critică, ci poate varia între 11–14,5V. Ea se poate obține:

- de la o baterie de automobil (12V în regim de staționare, 14V când alternatorul funcționează);
- de la o baterie cadmiu-nichel;
- de la trei baterii plate de 4,5V inserate.

Fig.
5



REDUCEREA OFFSET-ULUI AMPLIFICATOARELOR OPERATIONALE

Ing. MIHAI-GEORGE CODĂRNĂI

Oproblemă destul de dificil de rezolvat în cadrul măsurătorilor de curent continuu sau lent valabil de nivel mic cu ajutorul amplificatoarelor operaționale este reducerea influenței tensiunii de offset proprii acestora asupra mărimilor de ieșire rezultate. Dacă pentru valori de tensiune utilă de intrare de peste câteva zeci de milivolti, tensiunea de offset poate fi neglijată, ea aducând o alterare nesemnificativă a rezultatelor măsurătorilor și prelucrărilor ulterioare, nu același lucru se poate face în cazul unor tensiuni utile de valori comparabile cu cea de offset a amplificatorului operațional de intrare. Aceasta cu atât mai mult cu cât acestuia îl cere și o amplificare în curent continuu apreciabilă, de peste câteva zeci de ori sau mai mare.

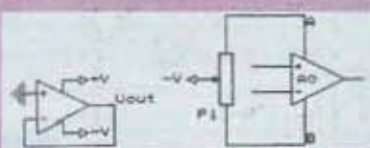


Fig. 1

Fig. 2

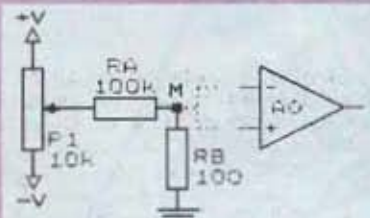


Fig. 3

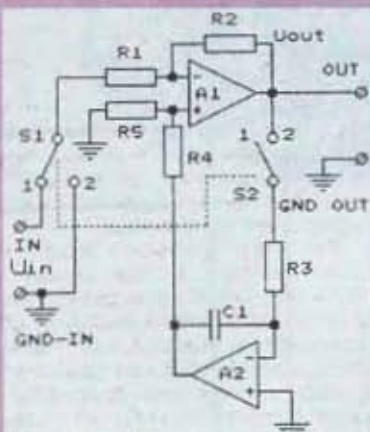


Fig. 4

De o perioadă de timp, performanțele de curent continuu ale amplificatoarelor operaționale speciale rivalizează, aproape, cu cele ale circuitelor de intrare ce utilizează tehnici sofisticate de reducere a influenței tensiunii de offset. Astfel, se realizează amplificatoare operaționale a căror tensiune de offset este redusă la nivelul câtorva zeci de microvolti. Procurarea și, mai ales, prețul de achiziționare a unor astfel

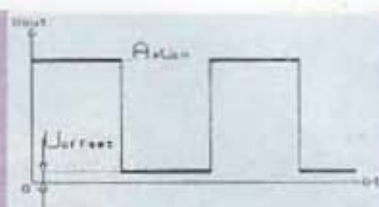


Fig. 5

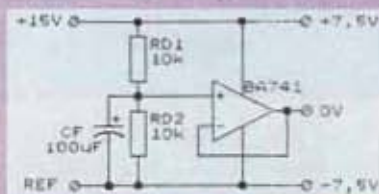


Fig. 6

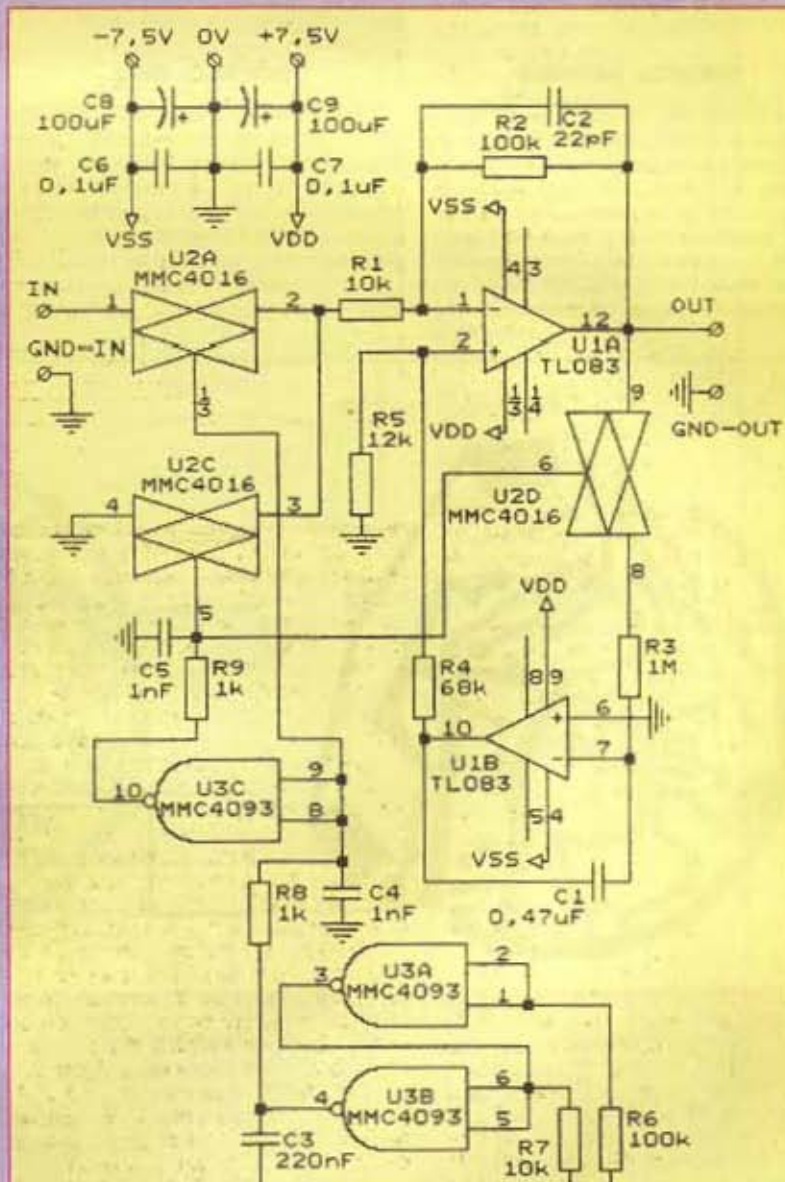


Fig. 7

de circuite integrate sunt prohibitive pentru un constructor amator.

Tehniciile clasice de reducere a tensiunii de eroare a amplificatoarelor operaționale uzuale de tipul 741, 101, 108, 324, 083, 084 etc. sunt destul de bine cunoscute. Pentru exemplificare, măsurarea tensiunii reziduale de offset a unui operațional, indiferent de tip și performanțele de curent continuu ale acestuia, se poate face în montaj de rețetor față de o tensiune de referință. În figura 1 este prezentată măsurarea tensiunii de offset în raport cu potențialul masei de alimentare. Tensiunea U_{out}, determinată față de masă, reprezintă chiar tensiunea de offset a operaționalului în cauză. Bineînțeles că măsurarea se va face cu un milivoltmetru de curent continuu de bună calitate, eventual digital, cu o rezoluție mai bună de 100 μ V.

Reducerea influenței tensiunii de offset la ieșire se face ca în figura 2, în cazul în care amplificatorul operațional are, din construcție, pini de ajustare a acesteia, sau ca în figura 3, dacă circuitul nu posedă o astfel de facilitate. De remarcat că în figura 3, punctul M de aplicare a corecției poate fi conectat fie la intrarea inversoare, fie la cea neinversoare, în funcție de tipul de aplicație în care este utilizat amplificatorul. De asemenea, în funcție de fabricant, este recomandată, de cele mai multe ori, corecția față de tensiunea de alimentare negativă (-V, figura 1), dar poate fi făcută și față de celalătă bară de alimentare. Totodată, deși nu a fost figurată, corecția se face întotdeauna, pentru ambele modalități, în „arhitectura” de utilizare proiectată, adică în condițiile în care sunt montate și componentele rezistive care fixează amplificarea de curent continuu a montajului.

O modalitate de corecție electronică a acestui inconvenient este propusă, ca schematică de principiu, în figura 4. Atunci când cele două comutatoare sincrone sunt acționate periodic stânga-dreapta S1 și deschis-închis S2, tensiunea de offset de la intrare poate fi redusă cu cel puțin un ordin de mărime, chiar în cazul unor amplificări de ordinul zece. Tensiunea de ieșire va fi de formă dreptunghiulară, cu amplitudinea și fază corespunzătoare mărimii tensiuni utile de la intrare, care va avea „piedeștul” așezat foarte aproape, deasupra sau sub axa tensiunii de 0V (figura 5). Tensiunea U_{offset} reprezintă, de fapt, valoarea tensiunii echivalente de decalaj la intrare, multiplicată cu factorul de amplificare A al structurii. Pentru a rejecta semnalele perturbatoare ale rețelei de alimentare de curent alternativ de 50 Hz, fenomen datorat cuplajelor parazite, este recomandabil ca frecvența de comutare să nu fie multiplu al frecvenței amintite mai sus (se comută cu frecvența de 125 Hz, 375 Hz, 825 Hz etc., în funcție și de „viteză” componentelor cu care se realizează, practic, acest montaj).

Principiul de funcționare este următorul: când comutatoarele S1 și S2 sunt în poziția 1 (S1 comutat la intrarea de semnal, iar S2 în „vânt”), amplificatorul operațional A1 măsoară tensiunea utilă de la intrare și o transferă la ieșire amplificată cu valoarea $-R_2/R_1$; când comutatoarele S1 și S2 sunt în poziția 2, intrarea amplificatorului de măsurare A1 este scurtcircuitată la masă (S1 este comutat la masă), tensiunea inițială de offset a acestui amplificator este amplificată cu același factor și se va regăsi la intrarea integratorului realizat cu amplificatorul A2; salutul de tensiune de

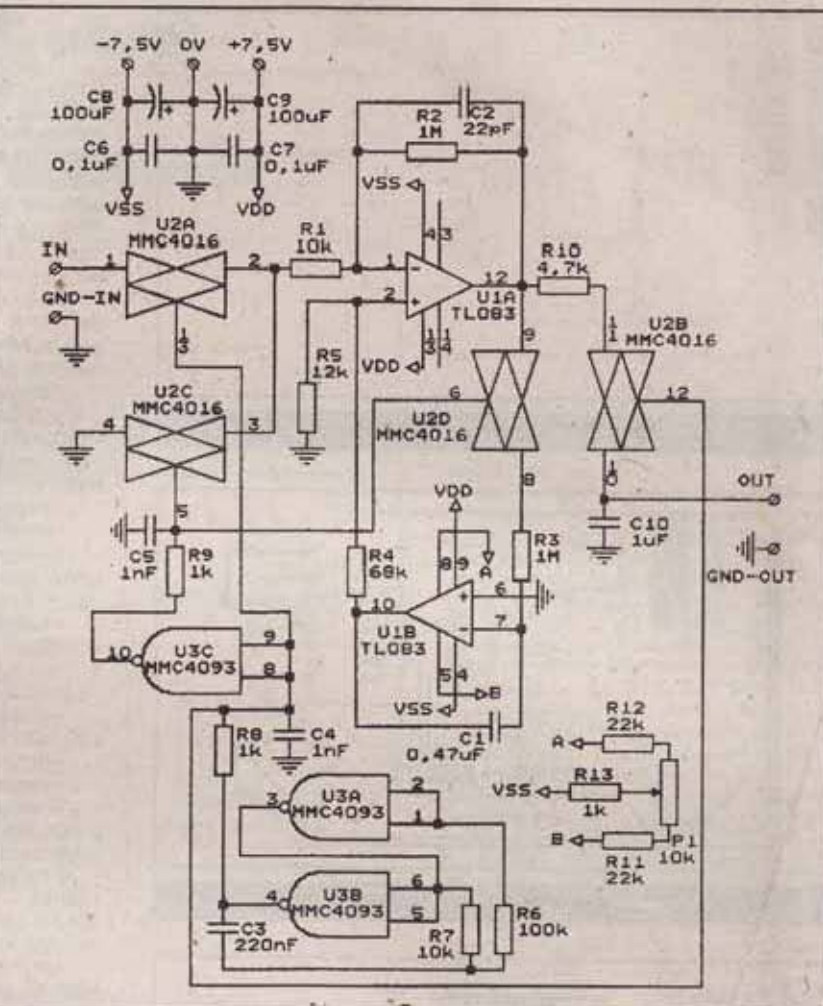


Fig. 7

decalaj de la ieșirea amplificatorului de măsură A1 este integrat și adus, cu ponderea $R_5/(R_4+R_5)$, la intrarea inversoare a amplificatorului A1 și astfel va compensa tensiunea de decalaj de la intrare. În perioada imediat următoare de comutare, ciclul de măsurare se reia, dar cu o tensiune de decalaj mult redusă de amplificatorul de „reacție” A2, care în perioada aceasta „memorează”. Datorită faptului că, din punct de vedere al comportării în curent continuu, integratorul lucrează în buclă deschisă, amplificarea este foarte mare și va compensa aproape complet tensiunea de decalaj de la intrarea operaționalului A1. Ciclurile compensare, memorare-măsurare se succed, dar de fiecare dată tensiunea de offset, pe perioada de măsurare, este redusă la o valoare, de cele mai multe ori, neglijabilă.

Punerea în practică a unei astfel de structuri de comutare, cum este de așteptat, nu se va face cu comutatoare mecanice, ci cu comutatoare statice de tip CMOS. O schematică simplă, dar cu performanțe bune, este prezentată în figura 6.

Amplificatorul de măsură este U1A, iar cel de compensare U1B, ambele făcând parte din același circuit integrat de tip TL083, B083 sau echivalent.

Comutatoarele S1 și S2 sunt realizate cu porti de transfer (comutatoare statice) U3A, U3B și U3C de tip MMC4016, MMC4066 sau echivalent.

Comanda închiderii și deschiderii comutatoarelor statice este „guvernată” de un oscilator RC având drept componente active două inversoare. Implementarea acestor inversoare s-a făcut cu două porti SI-NU TRIGGER-SCHMITT ale unui circuit MMC4093 sau echivalent. Se poate utiliza în locul acestuia un circuit integrat de tip MMC4011 sau echivalent, compatibil pin la pin cu cel menționat anterior. De asemenea, circuitul MMC4093 sau MMC4011 se poate înlocui cu un circuit ce conține sase inversoare pe capsulă, de tipul MMC4069 sau echivalent, cu reconfigurarea conexiunilor la pinii acestuia.

Reglajul oscilatorului se va face prin tatonarea valorii exacte a condensatorului C3 și/sau a rezistenței R7, în vederea obținerii unui semnal de tact cu frecvență de aproximativ 175Hz, evitându-se multiplii de 50 Hz (respectiv, 150 Hz și 200 Hz).

Pe lângă acestea montajul mai conține, ca dispozitiv activ, un inversor, MMC4093, pentru comanda a două dintre portile de transfer, U3B și U3C. Specificațiile referitoare la oscilatorul RC sunt valabile și în cazul acestui inversor.

Pentru reducerea zgomotului la ieșirea amplificatorului de măsurare, în buculă de reacție negativă a acestuia a fost inclus și un condensator (C2) de valoare mică, 22 pF...100 pF, care însă

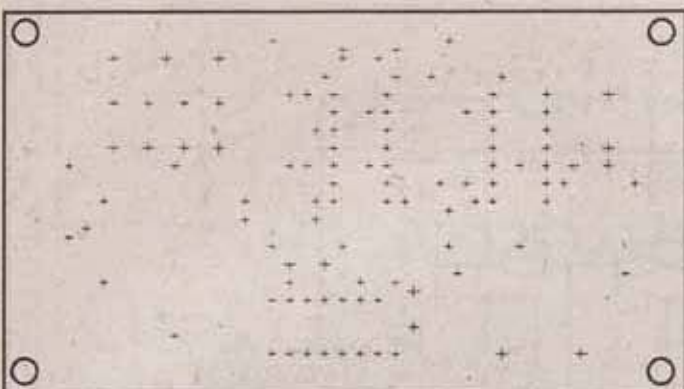


Fig. 9: Desen de găurile

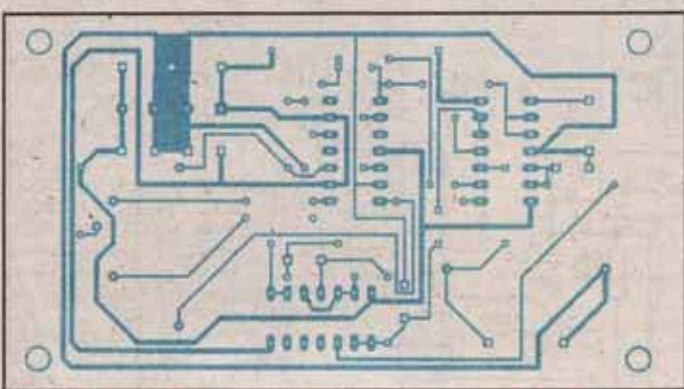


Fig. 10: Desen de cablaj (față cu lipituri)

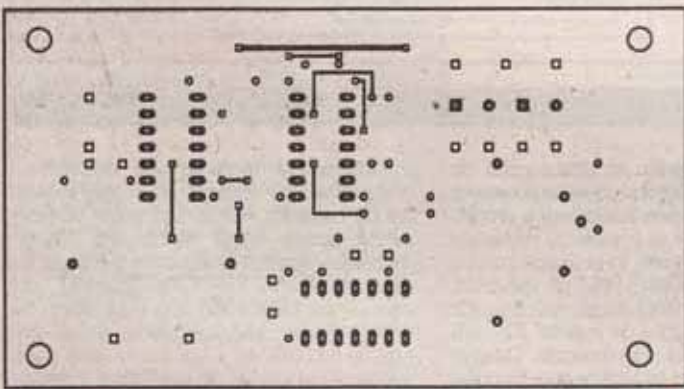


Fig. 11: Desen de cablaj (față cu componente)

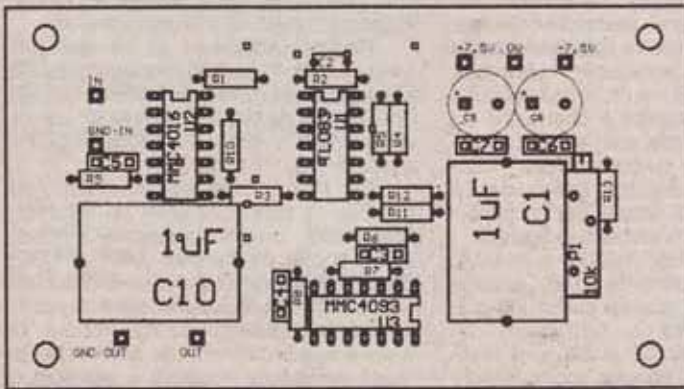


Fig. 12: Desen de amplasare componente

nu va afecta semnificativ răspunsul ansamblului la semnale de intrare lent variabile.

O cerință esențială este calitatea condensatorului C1, care trebuie să aibă pierderi în curent continuu cât mai mici. Aceasta este necesar pentru ca integratorul să funcționeze corect și să mențină, cu căderi cât mai mici, tensiunea de compensare pe intervalul de măsurare. Este recomandabil ca dielectricul condensatorului să fie policarbonat, polipropilenă sau stiroflex (deși, în cazul stiroflexului, gabaritul va fi destul de mare). Se pot utiliza, cu rezultate modeste, și condensatoare multistrat.

Așa cum am mai amintit, tensiunea de ieșire este de formă dreptunghulară. Dacă tensiunea de intrare este continuu, valoarea medie a tensiunii de ieșire este liniară și direct proporțională cu valoarea medie de intrare.

Câteva date tehnice ale acestui montaj:

- tensiunea de offset echivalentă la intrare: $\approx 100 \mu V$;

- amplificarea în curent continuu pe perioada de măsurare: ≈ 10 ;

- tensiunea de alimentare: $\pm 3 V \dots \pm 7.5 V$;

- consumul maxim: 15 mA;

- excursia de tensiune de intrare maximă pentru ieșire liniară: în funcție de tensiunea de alimentare $\pm 50 mV \dots \pm 0.2 V$;

- nelinieritatea maximă în domeniul liniar de ieșire: maximum 5%;

- excursia de tensiune de intrare maximă: în funcție de tensiunea de alimentare $\pm 3 V \dots \pm 7.5 V$;

- rezistența de intrare în domeniul liniar de ieșire: $\approx 20 k\Omega$;

- frecvența semnalului de tact intern: $\approx 170 Hz$;

- frecvența maximă a semnalului de intrare: 40 Hz.

Prelucrarea ulterioară a semnalului rezultat se poate face fie în curenț alternativ, fie în curenț continuu, după necesități.

Frecvența maximă a semnalului de intrare poate fi extinsă, teoretic, spre 85 Hz, dar din motive de reconstituire cât mai aproape de realitate a formei semnalului original, se preferă o limitare la numai 40 Hz.

Un montaj perfectionat, în raport cu cel descris anterior, este cel prezentat în figura 7. Față de varianta precedentă, schema mai conține un circuit de integrare-memorare conectat la ieșirea amplificatorului U1A. Acesta este compus din rezistorul R10, poarta de transfer U2D și condensatorul C10. Pe lângă acestea, se poate observa adăugarea unui circuit suplimentar de compensare a offset-ului integratorului, R11, R12 și P1. Dacă se vor folosi amplificatoare operaționale care nu au terminale de compensare a offset-ului, se va putea utiliza artificiul descris în figura 3.

Revenind la montajul din figura 7, performanțele notabile, în comparație cu celălalt, sunt:

- tensiunea de offset echivalentă la intrare: $\approx 1 \mu V$;

- amplificarea în curent continuu pe perioada de măsurare: ≈ 100 ;

- excursia de tensiune de intrare maximă pentru ieșire liniară: în funcție de tensiunea de alimentare $\pm 5mV \dots \pm 20 mV$;

- rezistența de sarcină minimă la ieșire: $1 M\Omega$;

- frecvența maximă a semnalului de intrare: 10 Hz (neuniformitatea maximă 3 dB).

Reducerea drastică a benzii de trecere la frecvențe „înalte” se datorează filtrului „trece-jos” de la ieșire, R10, C10. Acesta are frecvența de tăiere de circa 30 Hz, în condițiile în care sarcina la ieșire nu scade sub $1 M\Omega$.

Reglajul suplimentar de reducere a offset-ului integratorului se face modificând poziția cursorului potențiometrului P1, cu intrarea de semnal scurcircuitată la masă și măsurând cu un microvoltmetru tensiunea de ieșire pe condensatorul C10. Potențiometrul P1 este preferabil să fie de tip multiturnă (SPECTROL, TRIMPOT sau similar, preferabil de import). În final, tensiunea la ieșire, în condițiile impuse anterior, trebuie să se situeze sub $100 \mu V$.

Prelucrarea ulterioară a semnalului de ieșire se va face în curenț continuu. O cerință suplimentară importantă a acestui montaj este legată de stabilitatea în timp și cu temperatura a sursei duble de alimentare, care

LUMINA care CÂNTĂ

Fiz. ALEXANDRU MĂRCULESCU

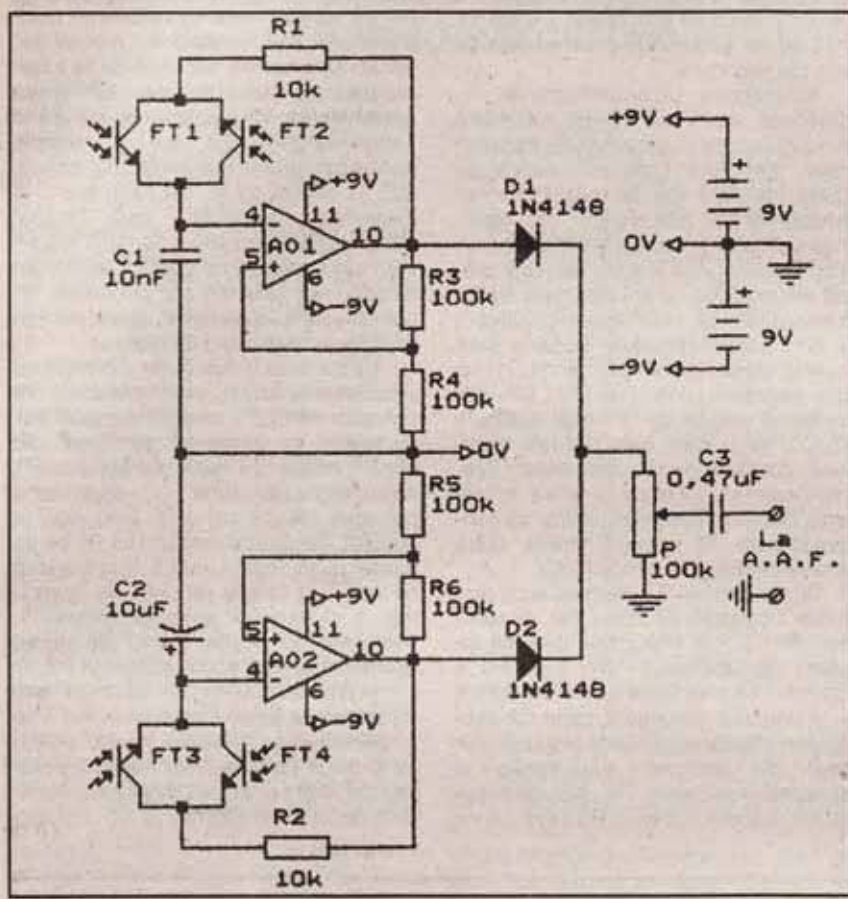


Fig. 2

Dacă sunetul poate fi transformat ușor în lumină – și există numeroase montaje care demonstrează strălucit acest lucru – de ce nu ne-am „jucă” și cu un aparat invers, care să transforme lumina în sunet? De pildă, chiar cu acesta propus de noi, pe care vă invităm să-l testați și, eventual, să-l perfectionați.

Montajul (fig. 2) se compune din două oscilatoare de relaxare cu amplificatoarele operaționale AO1 și AO2, după schema clasica-

reamintită în figura 1. În locul rezistenței R1 din oscilatorul clasic a fost montat căte un grup serie alcătuit din căte o rezistență și o pereche de fototranzistoare conectate în antiparalel (R1+FT1/FT2, respectiv R2+FT3/FT4), acestea din urmă având menirea de a simula, de fapt, două fotorezistențe, încă mai greu de procurat.

Plajele de frecvență ale celor două oscilatoare sunt mult diferite, prin alegerea valorilor diferenții pentru C1 (10-100nF) și C2 (1-100μF). Practic, primul oscilator va

trebuie să fie, cum este de așteptat, bună. O stabilitate slabă, un coefficient de temperatură al tensiunilor de ieșire mai mare de 1%/°C al acesteia pot compromite rezultatele măsurătorilor pe intervale de temperatură. Fenomenul de instabilitate a „zeroului” este cu atât mai accentuat și mai puțin predictibil atunci când sursa de tensiune dublă este alcătuită, de fapt, din două surse independente, realizate în tehnologii diferite și care au o bară comună de ieșire (cea de masă). Utilizarea unei surse duble „cu urmărire” reduce substanțial instabilitatea, chiar în cazul în care coeficiențul de temperatură al tensiunii de ieșire

este mai puțin bun și chiar dacă stabilitatea pe termen lung este mai redusă.

O soluție simplă de realizare a unei surse „duble” dintr-o sursă simplă este prezentată în figura 8. Utilizarea, conform schemei, a unui amplificator operational nepretentios și fără compensări externe, a unui divizor rezistiv RD1 și RD2, împreună cu un condensator CF, conduce la obținerea unei surse de „0V” fixată la jumătatea tensiunii de intrare de +15V, măsurată față de potențialul de referință REF. Alimentarea amplificatorului βA741 se face direct din sursa simplă. În cazul impunerii unor cerințe de zgomot foarte

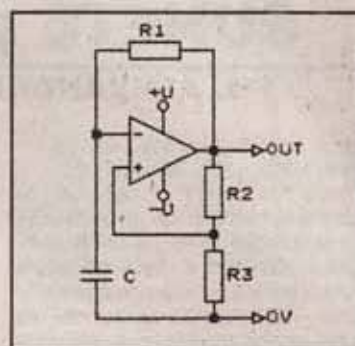


Fig. 1

acoperi, prin variația rezistenței ansamblului FT1/FT2, întregul spectru audio, iar cel de al doilea va genera seminale infracușnice, pentru modularea celor dintăi.

Rezistențele de limitare R1 și R2 nu au valori critice, putând fi alese orientativ, între 3kΩ și 30kΩ. De asemenea, amplificatoarele operaționale AO1 și AO2 pot fi de orice tip. Dispunerea terminalelor din schema corespunde modelului βA741 în capsulă DIL cu 2x7 pini. Fototranzistoarele FT1-FT4 pot fi de tip ROL31, ROL32, ROL34 etc., obligatoriu verificate în prealabil și de preferință împrecheante (două căte două) după sensibilitate.

Semnalele de la ieșirile celor două oscilatoare sunt însumate, prin separație cu diodele D1 și D2, pe potențiometrul P(10-100kΩ), din cursorul căruia se preia, prin condensatorul de cuplaj C3, frâțunea necesară pentru excitarea amplificatorului de audiofreqvență (AAF) folosit la „audiere”. Pentru probe, în locul amplificatorului putem folosi o pereche de căști telefonice de impedanță mare (2x2000Ω).

Efectele sonore ce pot fi obținute cu acest montaj prin iluminarea variabilă și diferită a celor două „fotorezistențe” (de exemplu, prin obturarea cu mâinile a fluxului luminos ambient) acoperă o plajă nebunuit de largă: de la ritmuri muzicale, triliuri de pasări, hurui de motor, apel telefonic, bătăi de metronom, tonuri simple sau modulate cu frecvență variabilă, până la sunete indescriptibile în cuvinte, dar de efect inedit.

După ce veți fi deprins secretul de utilizare (folosind, desigur, diverse alte metode de iluminare variabilă a perechilor de fototranzistoare), veți observa că sunetul poate fi făcut să încrețeze complet, dar să reapară la cea mai slabă creștere a nivelului de iluminare. Aceasta vă va sugera, poate, să folosiți montajul – atunci când nu vă „jucăți” cu el – pe post de avertizor sonor pentru diverse situații (apinderea luminii într-o încăpere, producerea unei flăcări, a unui incendiu etc.).

Montajul se alimentează dintr-o sursă dublă de ±9V (eventual două baterii de 9V legate în serie), cu punctul median conectat la masă.

mic al sursei, se recomandă alimentarea montajului din baterie.

Rezultate mai bune se pot obține în cazul în care se utilizează, chiar și numai pentru integrator, un amplificator operational cu tensiune de offset redusă.

Cablagul propus pentru schema din figura 7 este prezentat în figurile 9, 10, 11 și 12. Montajul poate fi realizat pe circuit dublu placat cu cupru, dar și pe simplu placat (numărul de trasee fiind redus pe această parte de cablaj), pe față cu componente conexiunile făcându-se cu fir de inainte de placarea pieselor.

SUNETE și CULORI

Fiz. ALEXANDRU MĂRCULESCU

În nr. 3/1998 al revistei noastre am prezentat, sub același titlu, o „orgă” de lumini monoșanal, cu particularitatea extrem de avantajoasă de a fi comandată direct de către semnalul sonor, deci fără a mai fi necesare conexiuni electrice la sursa de semnal și – implicit – nici condiția ca sunetul de comandă să fie produs prin milioace electro-acustice. Alăturat vă propunem o variantă a acestui montaj, realizat de această dată cu triac în loc de tiristor.

Practic se poate folosi orice tip de triac având tensiunea de lucru de cel puțin 400V. Pe schemă a fost indicat modelul TB10N6 (10A/600V), pe care recomand să îl sortați pentru un curent de poartă cât mai mic (maximum 30-50 mA).

"Orga" comandă aprinderea în ritmul semnalului sonor a unor becuri (sau coloane de becuri legate în paralel) cu tensiunea de lucru de 220 V. Pentru triacul indicat, care se montează pe un radiator adecvat, coloana poate însușa lejer o putere de 600W și chiar mai mare (de exemplu, 10-12 becuri de 60W).

Comanda pe poarta g a triacului se dă prin intermediul unui preamplificator AF, realizat cu tranzistoarele T1 și T2 și pieelele aferente. Sensibilitatea montajului se regleză din P1 (pragul de amorsare) și din P2 (adaptare la nivelul semnalului sonor util). Pe post de microfon a fost utilizat un difuzor de radioficare, care are incorporate, așa cum se arată în schemă, transformatorul de adaptare Tr și potențiometrul de volum P2. Singu-

rul reglaj necesar la acest bloc îl constituie tatonarea experimentală a valorii rezistenței R5 (orientativ între 120 și 470 Ω), în funcție de sensibilitatea de poartă a exemplarului de triac folosit. Pentru T1 și T2 se vor sorta exemplare cu factorul beta cât mai mare.

Alimentarea preamplificatorului cu tensiunea continuă joasă necesară (9–12V) se face în varianta fără transformator, dat fiind consumul redus de curent (de dorit sub 50 mA). Prin condensatorul C2 (nepolarizat, cu tensiunea de lucru de cel puțin 400V), inseriat cu rezistența de limitare R6, este preluat din rețea un curent alternativ limitat în intensitate de reactanța capacitativă a lui C2; semialternanțele pozitive sunt scurtcircuite la rețea prin dioda D1, iar cele negative, conduse prin D2, alimentează celula de stabilizare-filtrare DZ-C3, de la care este preluată tensiunea continuă pentru alimentarea preamplificatorului. Pentru a avea o mai bună „rezervă” de curent, valoarea condensatorului C3 poate fi mărită, după necesitate, până la 4700μF/25V.

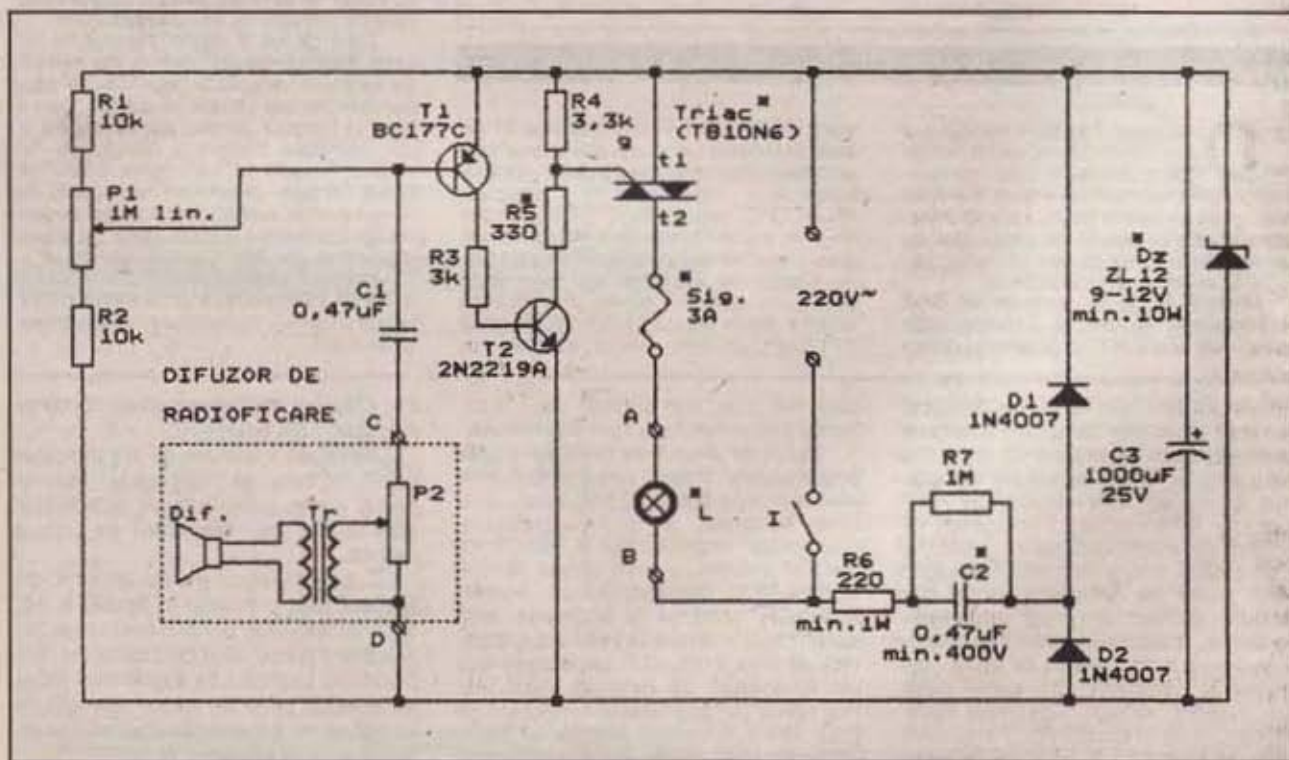
Dioda Zenner DZ, preferabil cu tensiunea nominală de 12V (dar de minimum 9V) a fost supradimensionată ca putere de disipație (10W) pentru a suporta fără probleme socul de curent de la pornirea alimentării, când C2 este complet descărcat și când singurul element de limitare instantaneu îl reprezintă rezistența R6. Nu se recomandă mărirea valorii lui R6 pentru a nu

avea o disipație termică excesivă la funcționarea îndelungată a montajului.

După cum se stie, utilizarea alimentatoarelor fără transformator impune precauții deosebite pe toată durata experimentării, ca și la realizarea finală a montajului. Astfel, pentru a evita pericolul de electrocutare, pe parcursul experimentării nu vor fi atinse cu mâna (ori cu obiecte metalice neizolate) componentele sau conexiunile montajului, decât după câteva secunde de la întreruperea alimentării de la rețea (deschiderea întrerupătorului I), când condensatorul C2 va fi practic descărcat, grație rezistenței R7 conectată în paralel cu el. De asemenea, la încasetarea montajului – care "incepe" chiar în cutia difuzorului de radioficare – vom avea grija să nu poată fi atinse din exterior nici una din componentele ori conexiunile sale electrice, aflate permanent în contact direct cu rețea.

La punerea în funcțiune a montajului (închiderea lui I) vom efectua din potențiometrul P1 reglajul sensibilității, în funcție de zgomotul de "fond" din mediul ambiant. Practic, cursorul lui P1 se ajustează până la amorsarea coloanelor de becuri (P2 fiind dat la maxim), după care cursorul lui P1 se dă foarte puțin înapoi, până la stingerea becurilor. În funcție de plaja de intensitate a semnalului sonor de comandă, sensibilitatea dorită a montajului se ajustează apoi din potențiometrul P2.

În fine, se subînțelege că „orga” astfel construită poate comanda foarte bine și ghirlande de beculețe pentru pomul de Crăciun (una sau mai multe în paralel, dar fiecare având tensiunea nominală de lucru de 220V).



ADAPTOR pentru ÎNCĂRCAREA ACUMULATOARELOR AUTO

Fiz. ALEXANDRU MĂRCULESCU

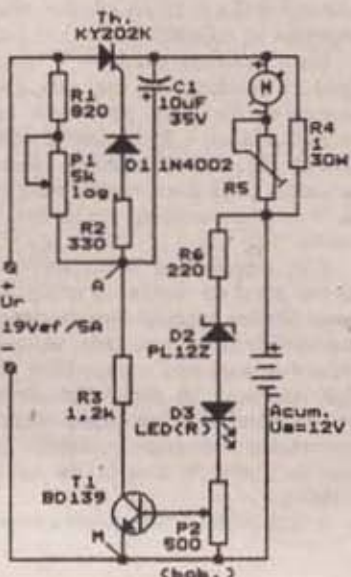
Posesorilor de autoturisme care își mai încarcă, încă, bateria de acumulatoare de la un redresor simplu (transformator plus punte redresoare), le recomand experimentarea și realizarea adaptorului alăturat, care, intercalat între redresor și acumulatorul de încărcat, oferă următoarele facilități suplimentare: limitarea curentului maxim de încărcare la o valoare prestabilită; reglajul curentului de încărcare în funcție de necesități/opțiuni (starea bateriei și.a.); decuplarea automată a încărcării la un prag prestabilit ai tensiunii la bornele acumulatorului; indicația permanentă a intensității curentului de încărcare; semnalizarea optică a apropierea de pragul maxim de încărcare.

Montajul necesită experimentarea individuală pentru fiecare situație concretă în parte, valorile (orientative) ale pieselor indicate în schematică depinzând, în principal, de sensibilitatea exemplarului de tiristor folosit, de tipul (capacitatea) bateriei de încărcat, ca și de valoarea eficace a tensiunii continue pulsatorii (obligatoriu fără filtrare) oferită de redresor.

În continuare vom puncta principalele detalii experimentale pentru cazul concret al unui acumulator de 12 V/45 Ah, luând ca valoare eficace maximă pentru curentul de încărcare $I_{max} = 4A$.

După cum se observă din schema de principiu, este vorba despre intercalarea între redresor și acumulator a unui tiristor Th, inseriat cu rezistența R4, aceasta din urmă având atât rolul de traductor de curent (pentru indicația „voltmetrică” a curentului de încărcare), cât și – în combinație cu tiristorul – pe acela de a limita valoarea maximă (maximum maximorum) a curentului de încărcare. Având în vedere căderile suplimentare de tensiune pe aceste două elemente, va trebui să suplimentăm puțin tensiunea secundară a transformatorului. Cel mai bine este să realizăm un secundar de 21V/4–5A, cu prize intermediare la 20V, 19V și eventual 18V.

Reglarea curentului de încărcare se face prin modificarea unghiului de deschidere a tiristorului (R1, C1, P1), manevrând cursorul potențiometrului



P1. Toate elementele acestui circuit se tatonează experimental în funcție de sensibilitatea de poartă a tiristorului Th, valorile indicate corespunzând unui exemplar de tiristor de tip KY202K având curentul de poartă 10mA.

Decuplarea automată a încărcării se face prin blocarea tiristorului, de către tranzistorul T1, atunci când tensiunea la bornele bateriei atinge valoarea prestabilită. În acest scop, baza lui T1 a fost polarizată dintr-un divizor de tensiune (R6, D2, D3, P2), ajustabil din potențiometrul P2. Valorile pieselor din acest divizor – în care este inclus și LED-ul D3, pe post de indicator optic – au fost alese pentru un prag U_{max} de circa 14,4V. În apropierea acestui prag (care eventual poate fi „împins” ceva mai sus, știind că, sub încărcare, tensiunea la bornele acumulatorului este mai mare decât „în gol”), LED-ul D3 începe să lumineze.

Rezistorul R4 (0,5–1Ω) va fi realizat sub formă de spirală „în aer”, din constantan (manganină etc.) cu diametrul firului de cel puțin 1–1,2 mm și cu diametrul „spirelor” de cca 2cm, acestea fiind distanțate pentru răcire eficientă prin autoventilație (R4 se

amplasează la exteriorul cutiei). Practic se va confectiona inițial o spirală cu rezistență mai mare (circa 1–1,2Ω), care va fi apoi scurtată după nevoie.

Experimentarea montajului se începe cu bateria de acumulatoare descărcată (când nu mai „duce” demarorul), legând-o în serie cu redresorul pus pe 19V, cu tiristorul, cu rezistența provizorie R4 și cu un ampermetru „de fabrică” având 5–6A la cap de scală. Se comandă provizoriu poarta tiristorului (în punctul A) prin grupul R1+P1, urmărind indicația ampermetrului. Dacă valoarea maximă dorită (4A) nu este atinsă, reducem treptat lungimea spiralei lui R4, după ce ne-am asigurat, cu P1 dat la minim, că reducerea valorii lui R1 nu ne mai ajută practic. Pentru exemplul experimentat în condițiile amintite am obținut $R4=0,75\Omega$. La nevoie se poate apela succesiv la trepte superioare pentru tensiunea secundară a transformatorului. În caz contrar, când intensitatea curentului depășește (temp de peste 1–2 minute) valoarea maximă propusă, putem limita unghiul maxim de deschidere a tiristorului, mărinind valoarea lui R1, dar mai bine este să reducem încă puțin tensiunea din secundarul transformatorului.

După ce valoarea lui R4 a fost definitivată – să zicem la $0,75\Omega$ – montăm în paralel cu R4 voltmetrul realizat cu microampermetrul M(50–100μA c.c. la cap de scală), în serie cu rezistența adițională R5. Pentru $R4=0,75\Omega$ și $I_{max}=4A$, la bornele lui R4 rezultă o tensiune de maximum 3V. Înțând însă cont de inevitabilele erori de măsurare, ca și de forma de undă a curentului de încărcare, vom „dimensiona” inițial voltmetrul M+R5 pentru un cap de scală ceva mai mare, de pildă 4–5V. În această fază experimentală, R5 va fi obligatoriu materializată printr-o rezistență de limitare R' plus un trimer R'' , pentru a nu risca „prăjirea” instrumentului. De exemplu, pentru $M=50\mu A/500\Omega$ (adică $20k\Omega/V$ sensibilitate), rezistența adițională necesară pentru a-l transforma în voltmetru cu 3V la cap de scală este de $60k\Omega$. În acest caz se aleg orientativ $R'=47–51k\Omega$ și $R''=25k\Omega$. Calibrarea voltmetrului se va face direct în valori ale intensității de curent, prin comparație cu indicațiile ampermetrului serie, care astfel își încheie misiunea.

Atât pe parcursul experimentării, cât și la realizarea montajului final, tiristorul va fi montat obligatoriu pe un radiator termic adecvat (minimum 150 cm^2).

Studiul CIRCUITELOR OSCILANTE

Prof. MARCEL CIURUŞ
Liceul „Nicu Gane”, Fălticeni

Punerea în evidență pe cale experimentală a oscilațiilor electromagnetice libere într-un circuit RLC se poate face cu un osciloscop cu remanență mare sau cu un osciloscop care are un tub catodic cu memorie. Aceste osciloscoape au un preț de cota ridicat și se întâlnesc rar.

În cele ce urmează este redată o metodă care permite punerea în evidență a oscilațiilor electromagnetice libere din interiorul unui circuit RLC, utilizând un osciloscop obișnuit.

Generatorul G.S. din figura 1 generează semnale dreptunghiulare a căror frecvență poate fi modificată din potențometrul P sau prin selectarea condensatorului sau a bobinei.

În intervalul de timp în care circuitul RLC serie î se aplică un impuls dreptunghiular, condensatorul C₁ se încarcă prin gruparea serie RL. În intervalul de timp următor, generatorul se comportă ca un simplu conductor electric. În acest interval de timp condensatorul se descarcă prin gruparea serie RL, dând naștere oscilațiilor electromagnetice libere.

(factorul de calitate al circuitului Q≤0,5), descărcarea este aperiodică (figura 3).

Modificând valoarea rezistenței potențiometrului P, se pot observa diferite amortizări ale oscilațiilor.

Dacă perioada bazei de timp este egală cu jumătate din perioada generatorului de frecvență, pe ecranul osciloskopului apare o figură asemănătoare celei din figura 2 (cunoscând valoarea rezistenței R, se poate realiza calibrarea pe Y a osciloscopului în unități de curent).

Prin modificarea inductanței L a bobinei (care se realizează prin modificarea poziției miezului feromagnetic în interiorul bobinei sau prin utilizarea prizei mediane) sau a capacitații electrice introduse în circuit (se închide întrerupătorul K₁), se poate observa dependența frecvenței oscilațiilor care apar în circuit în funcție de valorile acestora.

În cazul în care rezistența totală a circuitului

$$Rt \geq 2\sqrt{\frac{L}{C}}$$

L, r – bobină 1000 spire cu priză mediană (trusa de fizică)

Fig. 1: Montaj experimental pentru punerea în evidență a oscilațiilor electromagnetice libere din interiorul unui circuit RLC

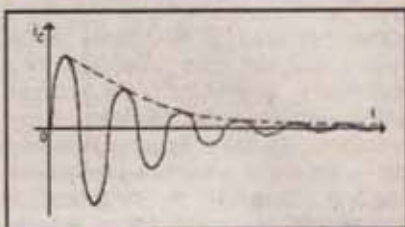


Fig. 2: Oscilații amortizate

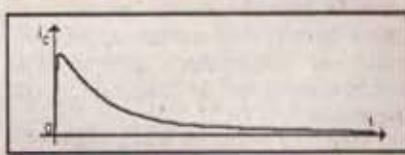


Fig. 3: Descărcarea aperiodică

Vizualizarea caracteristicilor statice curent-tensiune ale diodei semiconductoare și a caracteristicilor de ieșire $I_O = f(U_{CE})_E = ct.$ ale tranzistorului bipolar cu ajutorul osciloscopului OT-01

Caracteristicile elementelor neliniare de circuit, $I = f(U)$, pot fi vizualizate și analizate pe osciloscop, dacă se aplică două tensiuni variabile la bornele X și Y ale osciloscopului; la bornele X se aplică o tensiune proporțională cu tensiunea de pe elementul neliniar, iar la bornele Y o tensiune proporțională cu intensitatea curentului prin elementul studiat.

Caracteristica statică a unei diode semiconductoare se poate vizualiza pe un osciloscop, utilizând montajul din figura 1.

Deoarece între bornele de intrare pe X ale osciloscopului catodic OT-01 există o tensiune continuă de 2V, pentru a rămâne centrată caracteristica statică a diodei pe ecranul tubului catodic, tensiunea de la bornele diodel se aplică la intrarea X a osciloscopului prin intermediul condensatorului electrostatic $C = 4,7 \mu F$. Semnalul de la bornele rezistorului R, proporțional cu intensitatea curentului din circuit, se aplică pe Y.

Având osciloscopul etalonat, se pot face măsurători asupra caracteristicii diodeli.

Deoarece la majoritatea osciloscopelor borna de masă a plăcilor de deflexie pe orizontală și verticală este comună, curba din cadrul unu se obține în ca-

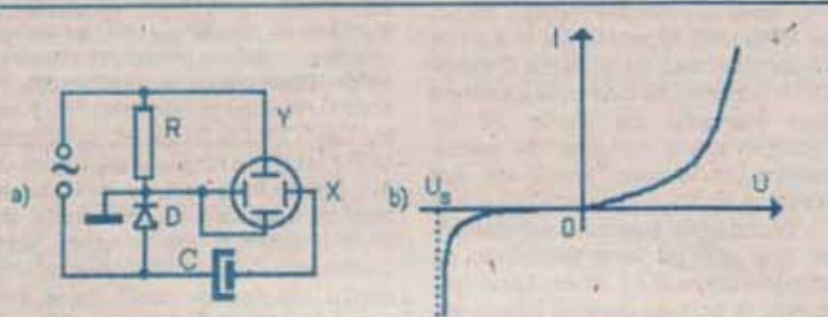


Fig. 1 a) Montaj pentru ridicarea caracteristicii statice curent - tensiune pentru o diodă semiconductoare; b) Caracteristica statică a diodă semiconductoare

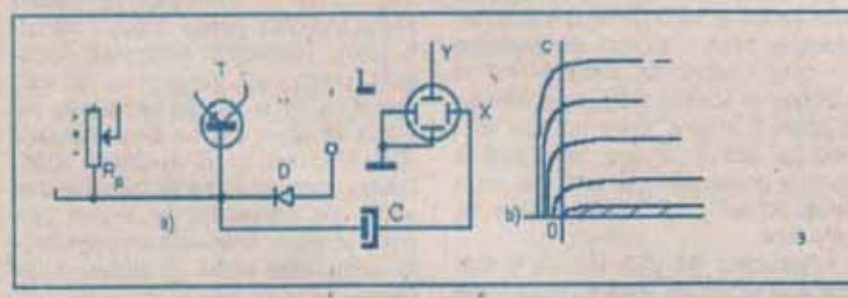
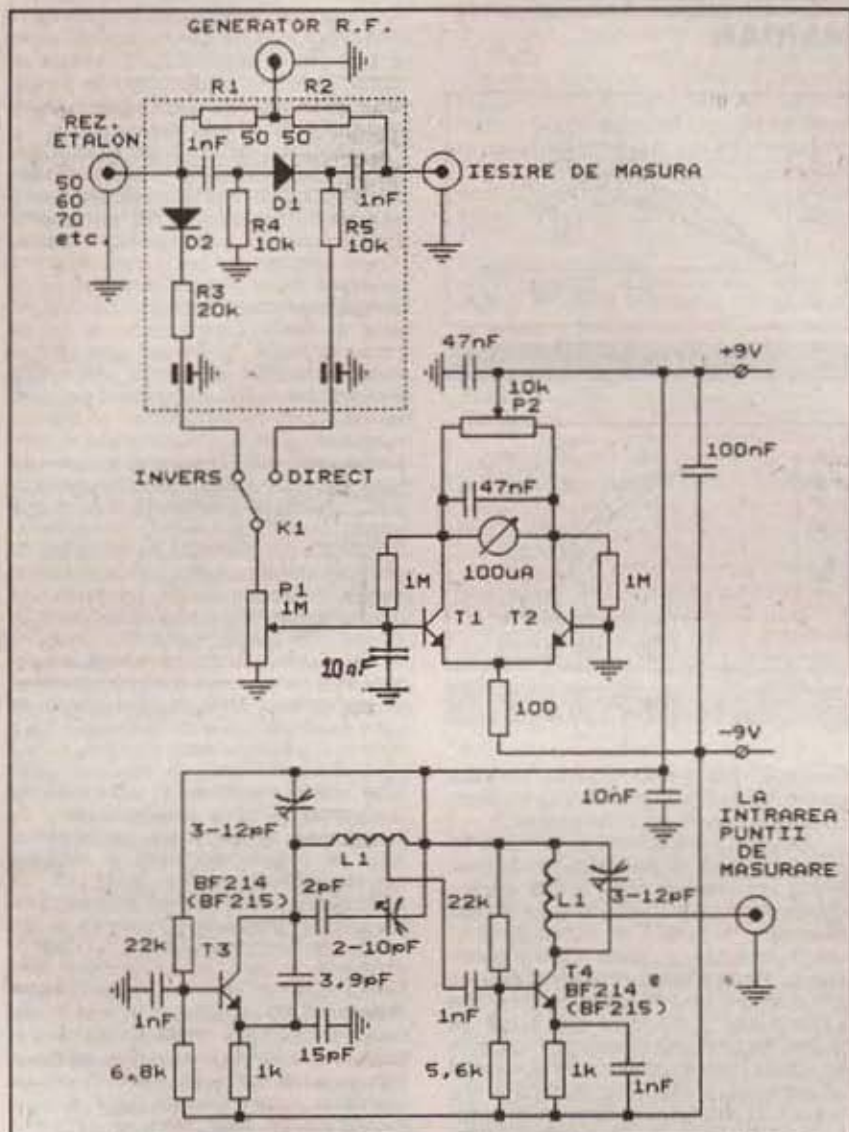


Fig. 2: Trasarea caracteristicilor de ieșire $I_O = f(U_{CE})_E = ct.$
a) montajul experimental;
b) familia de caracteristici $I_O = f(U_{CE})_E + ct.$

PUNTE DE MĂSURĂ pentru RADIOFRECVENTĂ

TRIFU DUMITRESCU, Y03BAL



Sunt numeroase situații în care radioamatorul constructor dorește să cunoască impedanța caracteristică a unui cablu coaxial, dacă antena lui este corect adaptată cu fiderul, dacă intrarea unui amplificator de radiofrecvență este adaptată la cablul folosit și R2 etc.

Precizia de măsurare a instrumentului descris aici este în funcție de egalitatea rezistențelor R1 și R2, a căror valoare poate fi între 5Ω și 75Ω , de egalitatea parametrilor diodelor D1 și D2 (1N4148) și de îndeplinirea condițiilor $R4 = R5$, $R4 + R5 = R3$.

Generatorul de radiofrecvență ($f = 145$ MHz) este echipat cu tranzistorul T3 (BF215, BF214), montat ca oscilator Colpitts. Semnalul se culege de pe inductanță L1 (5 spire, CuAg, 1,5 mm, ø bobină = 5 mm, pas 1 mm, cu priză la 1,5 spire). Tranzistorul T4 amplifică semnalul de radiofrecvență pentru ca, după o priză a lui L2 (L2 idem L1), să fie introdus, printr-un cablu coaxial, la intrarea 1 a punți.

Semnalul detectat este aplicat, prin comutatorul K1, amplificatorului c.c. Tranzistoarele T1 și T2 sunt montate ca amplificator c.c. în contratimp. Piese componente vor trebui să aibă caracteristici asemănătoare, în special factorul β al tranzistoarelor T1 și T2, care sunt de tipul BC107, 108 etc.

Pentru măsurători se procedează în felul următor: se echilibrează voltmetriul electronic prin actionarea lui P2, după care montăm cablul de legătură de la ieșirea generatorului de radiofrecvență la intrarea 1. La borna 3 plasăm mușa de legătură cu antena de măsurat, intrarea amplificatorului de reglaj sau cablul coaxial a cărui impedanță dorim să o stabilim. (Cablul va avea montat la celalalt capăt o rezistență etalon.) Comutatorul K1 îl punem pe poziția „direct”. Ajustăm P1 pentru a căta indicația maximă a instrumentului, apoi K1 se trece pe poziția „invers”. Dacă impedanța pe care o măsurăm este egală cu rezistența etalon montată la borna 2, puntea este echilibrată și instrumentul de măsură va indica punctul nul. Dacă generatorul de radiofrecvență este un emițător, puterea de ieșire a acestuia nu va trebui să depășească puterea dissipată a rezistențelor etalon. Rezistențele R1, R2, R3, R4, R5, precum și etaloanele vor fi de tipul volum sau cu peliculă metalizată.

Puntea de măsură propriu-zisă va fi montată într-o cutie metalică potrivită cu gabaritul pieselor (rezistoare, condensatoare de trecere și mușe coaxiale).

cadrul patru, iar cea din cadrul trei se obține în cadrul doi.

Dacă se inversează conexiunile de la bornele de deflexie pe X, pe ecranul osciloskopului se obține forma corectă a caracteristicii statice a diodeli semiconductoare. Deoarece tensiunea necesară deviației pe diagonală orizontală a tubului catodic OT-01 este de 10 V, pentru o bună vizualizare a caracteristicii diodeli s-a utilizat o diodă stabilizoare de tensiune ZENER DZ 5V1, o rezistență de $100\Omega/1W$, iar tensiunea de alimentare este de 4 V.

Pentru vizualizarea caracteristicii de ieșire $I_C=f(U_{CB})|_E=ct$ se realizează circuitul din figura 2.

Caracteristica de ieșire a tranzistorului bipolar, $I_C=f(U_{CB})|_E=ct$, reprezintă depen-

denta curentului de colector de tensiunea colector-bază, când curentul de emitor este constant.

Pentru a obține o caracteristică este necesară o tensiune continuă de deschidere a joncțiunii emitor-bază de valoare mică (0,6–0,7 V).

Valoarea tensiunii U_{EB} se poate regla cu ajutorul reostatului R_p .

Rezistorul R_M (876Ω) joacă rolul unui generator de curent constant ($I_{max}=100$ mA). Dioda (F057) permite alimentarea colectorului în raport cu baza, la tensiuni pulsatorii variind între U_{max} și zero.

Tensiunea obținută la bornele rezistorului R ($7,5\Omega$) este proporțională cu intensitatea curentului care trece prin rezistor și se aplică plăcilor Y. Pe plăcile X se aplică tensiunea de la bornele C-B ale

tranzistorului (EFT313D), prin intermediul unui condensator electrolic C ($4,7\mu F$). Pe ecran apare o caracteristică asemănătoare celor din figura 2b. Modificând valoarea curentului de emitor se obține o altă caracteristică, deplasată față de prima.

Pentru a obține o familie de caracte-

ristici pe ecranul osciloscopului, este necesar ca tensiunea U_{EB} să varieze în trepte.

Bibliografie:

- VICTOR SCUTARU, Electronica, Universitatea „Al.I. Cuza” – Centrul de multiplicare, Iași – 1998

- ANNE-MARIE DÉGURSE și a., Physique. Classes de terminale D, Hatier, Paris – 1983

PREMAGNETIZAREA dinamică A BENZII MAGNETICE

Ing. EMIL MARIAN

Sistemele de premagnetizare dinamică (S.P.D.) a benzii magnetice au constituit, în ultimul timp, un punct de atracție pentru producătorii de aparat electroacustic (magnetofon, casetofon etc.). Bunele performanțe oferite de metoda premagnetizării dinamice au confirmat justitia dotării aparatului destinat înregistrării pe banda magnetică a informației sonore cu sisteme de acest tip. Esența sistemului S.P.D. o reprezintă reglajul continuu al nivelului curentului de premagnetizare în funcție de amplitudinea, frecvența și mai ales de compoziția spectrală în banda audio a semnalului care urmează a fi înregistrat pe banda magnetică. Problema nu este deloc simplă, deoarece reglaile menționate impun o anumită structură a blocului electronic destinat înregistrării magnetice.

Este cunoscut faptul că premagnetizarea statică reprezintă un compromis între capacitatea magnetofonului sau a casetofonului de a înregistra semnalele audio de diferite frecvențe, astfel încât, în final, în funcție de calitatea benzii magnetice utilizate (practic, proprietățile stratului magnetic activ) se aleg anumite valori optimizate pentru curentii de audiofrecvență I_{AF} (care reprezintă semnalul audio ce urmează a fi înregistrat) și de înaltă frecvență I_F (currentul de premagnetizare).

Alegerea nivelurilor lor optime se face înținând cont de următoarele considerente:

- nivel maxim pentru banda de audiofrecvență, în care sistemul de înregistrare-redare este destinat din construcție să funcționeze (în funcție, deci, de complexitatea și performanțele lui);

- tipul de banda magnetică utilizat;
- raportul semnal/zgomot maxim;
- procentajele de distorsiuni THD și TID minime.

Să nu uităm însă că semnalul audio prezintă o compoziție spectrală în frecvență deosebit de complexă, iar nivelul său este variabil în permanență. Datorită acestor considerente, un regaj static prezintă întotdeauna anumite limitări, care se manifestă în momentul în care parametrii lui nu mai corespund în privință valorilor maxime prevăzute inițial. Pe de altă parte, este cunoscut faptul că o înregistrare magnetică realizată cu un nivel redus al curentului I_{AF} (fapt ce ar elimina depășirile de nivel maxim) prezintă inconveniente înrăutățiri reportului general semnal/zgomot al sistemului de înregistrare-redare, iar posibilitatea de utilizare a benzii magnetice (în ceea ce privește magnetizarea) nu sunt în acest caz folosite pe deplin.

Sistemele de premagnetizare dinamică elimină majoritatea inconvenientelor menționate anterior, largind substantiaj posibilitățile de utilizare a benzii magnetice la înregistrarea informației sonore continue de un semnal audio. Proiectanții de aparat electroacustic de acest tip au căutat și realizat în timp o serie de soluții constructive practice din ce în ce mai per-

tor de amplificare în curent I_{AF} mai mare (cu cel puțin 40%).

Un factor esențial la realizarea unui S.P.D. îl constituie cunoasterea cu precizie a zonei sale de lucru. Ea se situează în compartimentul semnalelor audio de frecvență înaltă și cu amplitudine mare din extremitatea superioară a benzii de audiofrecvență. Aici apar cele mai mari dificultăți în procesul de înregistrare magnetică a unui semnal audio. În mod practic, sistemul S.P.D. trebuie să mențină liniaritatea caracteristicii de transfer amplitudine-frecvență a semnalelor audio de frecvență înaltă și nivel mare.

Totodată, S.P.D. trebuie să funcționeze în aceste condiții și pentru depășirea tranzitoriu sau de scurtă durată ale nivelului general propriu curentului I_{AF} prevăzut inițial în regimul premagnetizării statice. Aceste depășiri au loc în mod frecvent, deoarece însuși algoritmul procesului de înregistrare-redare implică o ridicare inițială a nivelului semnalelor audio de frecvență înaltă, înainte de a se efectua înregistrarea lor pe banda magnetică. Funcționarea S.P.D. se bazează pe modificarea dinamică instantaneă a nivelului curentului I_F în funcție de nivelul și compoziția spectrală în frecvență a curentului I_{AF} . Dacă în spectrul de frecvențe al curentului I_{AF} predomină frecvențele joase și medii ($f < 4\text{kHz}$), înregistrarea magnetică se realizează ca de obicei, în condițiile stabilită pentru premagnetizarea statică. În această situație, pierderile care privesc amplitudinea semnalelor electrice de frecvență înaltă (inevitabile în procesul de înregistrare-redare pe banda magnetică) sunt compensate conform algoritmului standardizat NAB, realizat practic de către preamplificatoarele de înregistrare și redare. Conform acestui algoritm, nivelul semnalelor de frecvență medie și înaltă este ridicat suplimentar în momentul înregistrării de către preamplificatorul de înregistrare, iar la redare, preamplificatorul de redare realizează o atenuare complementară, astfel încât să fie păstrată liniaritatea caracteristicii de transfer globale amplitudine-frecvență a sistemului de înregistrare-redare. O dată cu creșterea nivelului componentelor semnalului audio în zona frecvențelor înalte, sistemul S.P.D. acționează de asemenea încât micșorează instantaneu amplitudinea curentului I_F la un nivel predeterminat, astfel încât să fie compensate pierderile informaționale care privesc semnalele de nivel mare și frecvență înaltă. Acțiunea vizează concomitent evitarea apariției distorsiunilor THD și TID și, totodată, menținerea și chiar îmbunătățirea raportului semnal/zgomot al sistemului de înregistrare-redare.

La realizarea caracteristicilor de transfer teoretice ale sistemului S.P.D. se pornește de la diagramele ce reprezintă curbele de magnetizare (determinate experimental) pentru semnalele electrice cu spectru bogat în frecvență înaltă la diferite valori ale curentului de premagnetizare I_F , și anume curentii $I_{p1} > I_{p2} > I_{p3}$. Aceste diagrame sunt prezentate în figura 1. Să presupunem că I_{p1} reprezintă valoarea optimă a curentului I_F , determinată pentru regimul de premagnetizare statică. Se observă că, în acest caz, înregistrarea nedistorionată a unui semnal audio de frecvență f_1 , folosind pentru premagnetizare curentul I_{p1} , este posibilă doar pentru valorile curentului I_{AF} cuprinse în intervalul $0 \leq I_{AF} \leq I_{a1}$. Nivelul maxim nedistorionat al semnalului audio înregistrat cores-

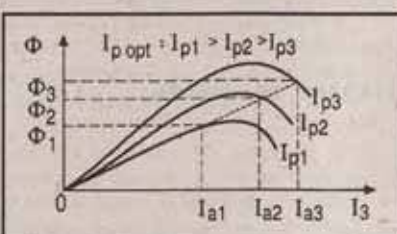


Fig. 1

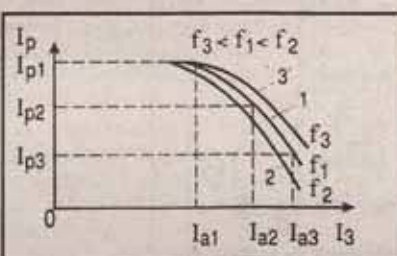


Fig. 2

formante. Ele permit variația nivelului curentului de premagnetizare I_F conform consideranțelor menționate anterior.

Desigur, primele montaje de acest tip au avut o serie de deficiențe funcționale. Primul inconvenient major a fost autoexcitația dinamică a etajului funcțional, care determină, în funcție de frecvență și nivelul curentului I_{AF} , nivelul optim al curentului I_F . Realizarea unor constante de timp, prin amplasarea unor condensatoare care să realizeze o retardare gen buclă de reacție negativă, nu reprezintă întotdeauna soluția optimă, deoarece în acest mod se diminuază viteza de răspuns a sistemului. O altă cauză a functionării nesatisfăcătoare a unor sisteme S.P.D. o constituie instabilitatea în funcționare a oscillatorului de stergere și premagnetizare (O.S.P.), datorată de cele mai multe ori micșorările, din diferite cauze, a tensiunii de alimentare a montajului. Datorită acestui fapt, la dimensionarea O.S.P. este necesar să se prevedea un consum energetic de cca trei ori mai mare decât cel normal, alături de o configurație a schemei de asemenea natură încât nivelul și frecvența curentului I_F să fie cât mai constante (evident, înainte de a comanda nivelul I_F de către S.P.D.). O soluție de ameliorare a performanțelor unui O.S.P. deja realizat o constituie majorarea numărului de spire ai bobinelor din transformatorul de adaptare și, păstrând totodată raportul inițial de transformare (evidenț, dacă O.S.P. conține transformator), micșorarea capacitatii unor condensatoare de cuplaj de pe traseul I_F și, uneori, schimbarea tranzistoarelor proprii O.S.P. În sensul alegerii unora de același tip, dar cu un fac-

punde fluxului magnetic Φ_1 din capul magnetic de înregistrare CMI. Dacă nivelul curentului i_{PF} se micșorează până la valoarea $i_{AF} = i_{a2}$, majorată față de cazul anterior, $i_{a2} > i_{a1}$. Curentului i_{a2} îl corespunde acum fluxul magnetic Φ_2 , majorat față de situația anterioară, deci $\Phi_2 > \Phi_1$. Într-un mod asemănător, pentru situația $i_{PF} = i_{a3}$ se obține o nouă valoare a curentului i_{AF} maxim nedistorionat, majorată față de situația anterioară, $i_{a3} > i_{a2}$, curențul căruia îl corespunde fluxul magnetic Φ_3 .

Efectuând o sinteză a celor expuse anterior, se obțin imediat condițiile de înregistrare nedistorionată:

$$\begin{aligned} i_{a3} &> i_{a2} > i_{a1} \\ i_{a2} &> i_{a1} \\ \Phi_3 &> \Phi_2 > \Phi_1 \end{aligned}$$

Eșențial este faptul că pentru frecvența înaltă, f_i , micșorându-se nivelul curentului i_{PF} , se poate mări nivelul curentului i_{AF} , deci și fluxul magnetic util (Φ) din CMI, fără distorsionarea semnalului i_{AF} înregistrat, fapt urmărit inițial. Prin realizarea mai multor determinări de acest tip, cunoșându-se valorile $i_{a1}, i_{a2}, \dots, i_{an}$ și cele corespondanță lor ($i_{a1}, i_{a2}, \dots, i_{an}$), se poate realiza caracteristica de transfer pentru semnalul de frecvență $i_{PF} = f(i_{a1}, f)$. Efectuându-se determinările pentru diferite frecvențe f_i , se obține un set de diagrame $i_{PF} = f(i_{a1}, f)$, a căror alură este prezentată în figura 2. Se observă că pentru același curent de premagnetizare i_{PF} , odată cu creșterea frecvenței semnalului audio nedistorionat maxim, i_{AF} , nivelul lui i_a scade, dar se poate mări prin micșorarea nivelului curentului de premagnetizare i_{PF} .

Se menționează că forma și parametrii caracteristicilor $i_{PF} = f(i_{a1}, f)$ depend într-o măsură foarte mare de:

– performanțele CME utilizat (mărime intreier, material magnetic tol, geometrie etc.);

– tipul benzii magnetice utilizate;

– performanțele sistemului de antrenare și ghidare a benzii magnetice (viteză benzii, presiunea și aderența ei la CMI etc.).

Ca urmare a acestor considerente, sistemul S.P.D. lucrează diferit pentru fiecare tip de bandă magnetică (Fe_2O_3 , CrO_2 , METAL etc.), similar cu situația în care se folosește premagnetizarea statică. La schimbarea tipului de bandă magnetică utilizată este suficient să fie modificată valoarea i_{PF} , determinată inițial în condițiile premagnetizării statice, după care sistemul S.P.D. urmează să funcționeze conform celor menționate anterior.

Primul sistem S.P.D. a fost realizat în 1979 de către inginerul Kennet Gundy la filiala din San Francisco a firmei „Dolby Laboratories”, purtând denumirea comercială de DOLBY-HX (HX = Headroom Extension = creșterea capacitații de suprasarcină). Sistemul funcționează pe baza dependentei dintre nivelul curentului de premagnetizare i_{PF} și spectrul de frecvență al curentului audio de înregistrat i_{AF} .

Dacă în componentă i_{AF} predomină semnalele electrice de frecvență joasă și medie, iar nivelul semnalelor de frecvență înaltă nu este ridicat, atunci curentul i_{AF} se înregistrează ca de obicei – cu premagnetizare de nivel fix, i_{PF} având un nivel constant. Pierderile în ceea ce privește amplitudinea semnalelor de frecvență înaltă sunt compensate de preamplificatoarele de înregistrare și redare – algoritmul NAB. În momentul creșterii nivelului semnalelor de frecvență înaltă, sistemul DOLBY-HX micșorează instantaneu nivelul curentului de premagnetizare i_{PF} , asigurând în acest mod înregistrarea semnalului i_{AF} de frecvență înaltă, conform considerentelor menționate anterior. Se menționează faptul că micșorarea nivelului curentului i_{PF} se efectuează astfel încât acest lucru nu duce la mărire distorsiunilor THD și TID în ceea ce privește semnalul i_{AF} de frecvență medie și joasă, ci, dimpotrivă, această acțiune conduce la micșorarea lor (în special distorsiunile TID). Acest fenomen este explicat de teoria magnetizării interdependente, tratată pe larg în [3].

Micșorarea factorului TID are următoarea explicație: dacă nivelul componentelor i_{AF} de înaltă frecvență este foarte mare, ele acționează asupra componentelor i_{AF} de medie și chiar joasă frecvență ca un semnal virtual i_{PV} de premagnetizare, aplicat suplimentar față de i_{PF} , care este aplicat în mod continuu.

Se menționează că o îmbunătățire suplimentară se obține prin limitarea cu strictie a semnalului de zgromot i_{AF} care urmează să fie înregistrat în ceea ce privește micșorarea distorsiunilor THD și TID, totodată mărinindu-se raportul semnal/zgomot al sistemului.

Schema-bloc a sistemului DOLBY-HX este prezentată în figura 3. Se observă că semnalele audio de la cele două canale informaționale L și R sunt inițial amplificate de către amplificatoarele cu caracteristica de transfer amplitudine-frecvență liniară, A_1 și A_2 . Ulterior, cele două semnale amplificate se aplică etajelor D_1 și D_2 , care au rolul de a le procesa conform algoritmului DOLBY-B, în vederea înregistrării.

Semnalele audio procesate se aplică în continuare atât blocurilor electronice FBV_1 și FBV_2 , cât și blocului electronic S.D.A. Blocurile FBV reprezintă filtre trapezoizi cu bandă de trecere variabilă. Blocul S.D.A. reprezintă un sumator al celor două semnale audio procesate, conform algoritmului DOLBY-B, urmat de un detector de amplitudine. În blocul S.D.A. se formează tensiunea U_1 care comandă în final banda de trecere a filtrelor FBV_1 și FBV_2 . Totodată, aceeași tensiune comandă nivelul curentilor i_{PF} produsă de către blocul electronic OSP. Semnalele corectate de filtrele FBV_1 și FBV_2 sunt ulterior amplificate de amplificatoarele A_3 și A_4 și apoi aplicate circuitelor sumatoare S_1 și S_2 . Ele realizează modularea curentilor i_{AF} de la cele două canale informative, L și R, înainte de a fi aplicati capului magnetic de înregistrare CMI.

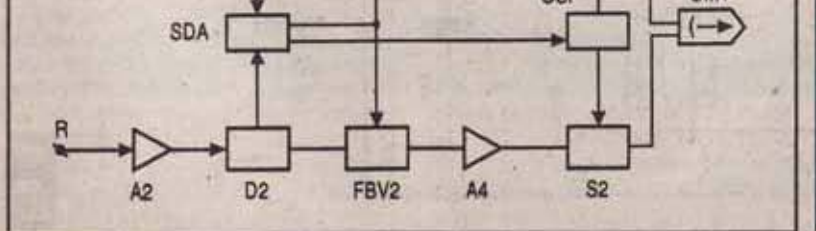
Analizând schema-bloc a sistemului DOLBY-HX, se poate deduce imediat modul său de funcționare. La semnalul i_{AF} cu spectru sărac în componente de frecvență înaltă (acestea având un nivel mic sau fiind nicidecum existente), tensiunea U_1 generată de blocul sumator determină reducerea benzii de trecere a blocurilor FBV_1 și FBV_2 , limitând astfel zgromotul de fond (care nu mai este înregistrat). Totodată, nivelul tensiunii U_1 (mic) implică menținerea unei valori constante a curentilor de premagnetizare i_{PF1} și i_{PF2} (valori optimizate pentru premagnetizare statică). La apariția semnalelor i_{AF} de frecvență înaltă și nivel mare, tensiunea U_1 , generată de blocul S.D.A. (mare), determină lărgirea benzii de trecere a filtrelor FBV_1 și FBV_2 (decă semnalele i_{AF1} și i_{AF2} trec nemoditificate). Concomitent, nivelul tensiunii U_1 determină micșorarea nivelelor curentilor i_{PF1} și i_{PF2} , generați de blocul O.S.P..

Sistemul S.P.D. de tip DOLBY-HX asigură, în final, creșterea capacitații de suprancărcare a benzii magnetice cu minimum 10 dB în zona frecvențelor înalte ($f \geq 10$ kHz). Dar acest tip de sistem S.P.D., alături de calitatele sale, prezintă, în urma unor încercări practice competente (efectuate inițial de firma STUDER REVOX), unele inconveniente.

Sistemul DOLBY-HX dă rezultatele estimate inițial numai în urma unor reglații foarte precise (curentii i_{AF1} și i_{AF2}), efectuate pentru un tip de bandă magnetică. În momentul schimbării tipului de bandă magnetică, sistemul DOLBY-HX trebuie calibrat din nou (operație complexă și de durată). Totodată, în regim dinamic, sistemul DOLBY-HX prezintă deficiențe funcționale importante. Să nu uităm că semnalul de comandă U_1 , furnizat de către blocul S.D.A. determină, concomitent, banda de trecere a filtrelor FBV și nivelul curentilor i_{PF} furnizați de blocul OSP. La variații tranzitorii ale semnalelor i_{AF1} sau i_{AF2} , apar deformări de mică durată (deci distorsiuni) la înregistrarea lor, sesizabile în momentul redării la audieri. Faptul se explică prin aceea că detectorul S.D.A. de tip DOLBY-B are o constantă de timp de restabilire avantajoasă pentru micșorarea zgromotului, dar ineficace pentru comanda sistemului S.P.D., care determină variațiile nivelurilor curentilor i_{PF} . Totodată (din motive economice, care privesc licență), sistemul DOLBY-HX a fost proiectat astfel încât să nu poată funcționa decât împreună cu componidorul DOLBY-B.

Concluzia practică imediată: sistemul DOLBY-HX este deosebit de complicat, scump și, uneori, deficitar.

(Continuare în numărul viitor)



ALARMA AUTO

ELECTRONICA AUTO

Student DAN ISTRATE, Craiova

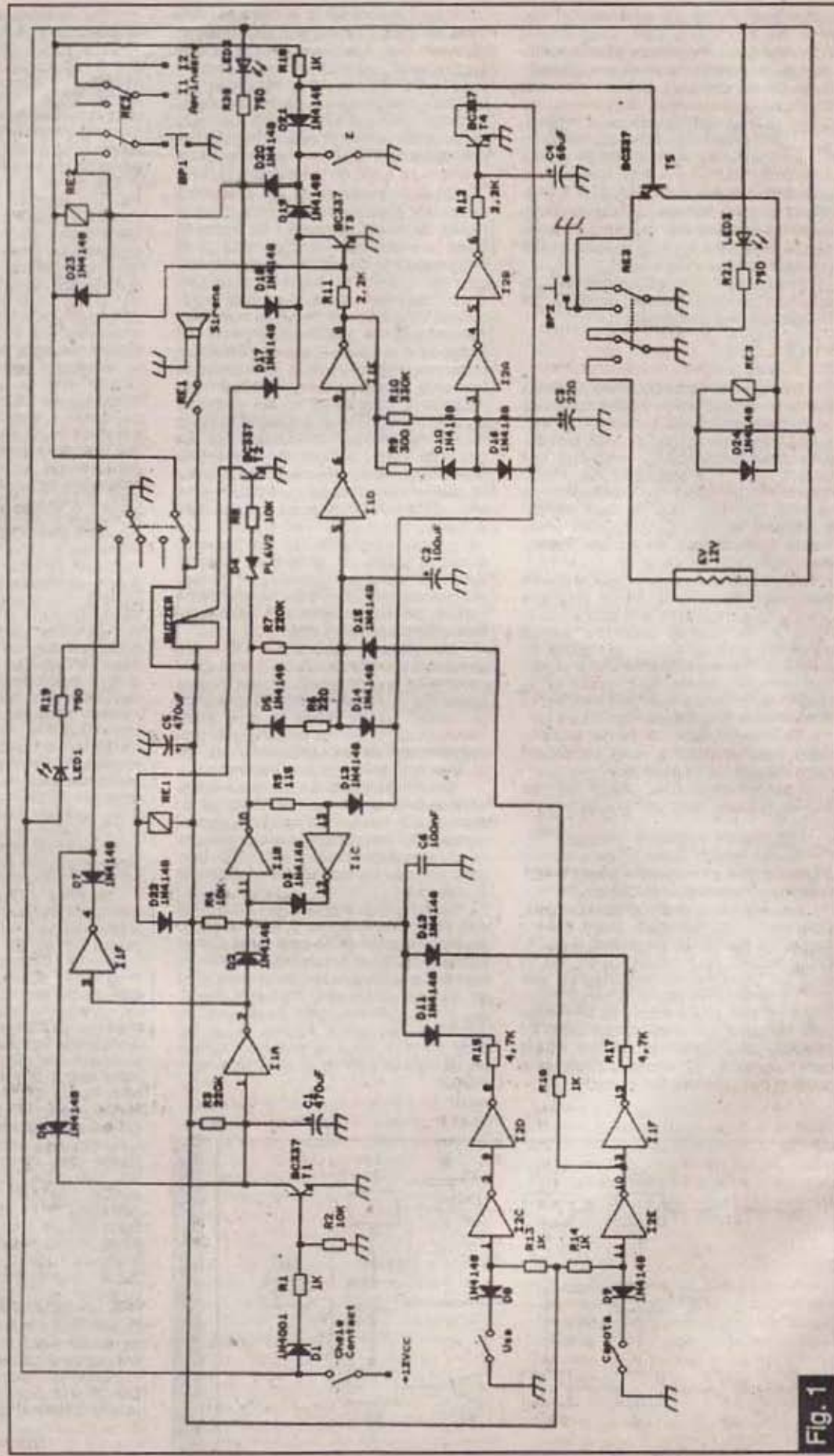


Fig. 1

Facilitățile oferite de alarma prezentată în figura 1 sunt:

1. Intrarea în supraveghere automată a alarmei după două minute (la alegere) de când contactul este tăiat;

2. Alarma fără acumulator ce asigură funcțiile sale și în caz de întrerupere a bateriei;

3. Întreruperea aprinderii;

4. Întreruperea alimentării cu carburant prin electrovalve, EV, fără posibilitatea repunerii în funcțiune imediată, numai conform punctului 7;

5. Avertizor de intrare în funcțiune a alarmei (buzzer). Alarma poate funcționa fără buzzer și fără sirenă, în mod silentios;

6. Alarma pornește silentios (cu toate funcțiile) dacă buzzerul de intrare funcționează și dacă manevrăm întrerupătorul de oprire chiar în timpul întârzierii de intrare;

7. După o alarmare, repunerea în funcțiune a mașinii necesită cheia de contact și acționarea în ordinea prevăzută a două butoane plasate în locuri diferite;

8. Avertizare asupra întreruperii alarmei la bord;

9. Alarma imediată pe capotă și în alte locuri;

10. Întârziere de ieșire și intrare și de alarmă modificabile prin schimbarea unei rezistențe sau/și condensator.

DESCRIEREA SCHEMEI

Întrerupătorul Y este un dublu inversor și are următoarele funcții:

a) Pune în serviciu normal alarma. El servește exclusiv atunci când vehiculul este în reparări sau dorim să deschidem capota fără a lăsa cheia în contact;

b) Permite, cu ajutorul lui LED 1, să semnalizăm poziția alarmă oprită când cheia de contact este pusă.

Electrovalva este montată pe furtunul ce transportă benzina din rezervor în pompa de benzină. Dacă mașina nu este dotată cu electrovalvă, recomand montarea acesteia la un atelier. Când alarma este conectată prin întrerupătorul Y, bateria montată, electrovalva își primește alimentarea prin T5-RE3, atât cât apăsăm pe BP2. Releul RE3 rămâne anclansat prin contactele sale. Plusul electrovalvei este asigurat din plusul bateriei prin cheia de contact. Constatăm imediat că dacă bateria este întreruptă sau alarma neutralizată, RE3 este în repaus și nu va fi activat decât prin BP2, iar RE2 va fi și el în repaus. În lipsa lui RE2, RE3 trece în repaus imediat ce BP2 se deschide. De altfel, dacă alarma a funcționat, o masă este aplicată pe baza lui T5 prin D20, care astfel se blochează și RE3 revine în repaus.

Întrerupătorul Z asigură declanșarea manuală a alarmei prin blocarea lui T5, repausul lui RE3 și întreruperea aprinderii prin D19-D18-RE2 și BP1, oricare ar fi poziția lui Y. Pentru această funcție utilizăm un întrerupător, deși un impuls scurt ar fi fost suficient. Preferăm întrerupătorul deoarece el asigură și pornirea sirenei prin D19-D17-RE1. Când sirena a func-

ționat un timp, dioda D20 oprește alimentarea electrovalvei prin RE3. LED-ul 2, prin BP1 și un contact al lui RE2, indică faptul că aprinderea este cuplată.

LED-ul 3 semnalizează că RE3 este în repaus și că electrovalva este oprită. Martori LED 1, 2, 3 nu se aprind decât când cheia de contact este pusă.

1 - Cheia de contact conectată

- Un plus este aplicat lui T1 prin D1, R1, deci T1 conduce;

- T1, prin D6, blochează rapid pe T3 și RE1;

- Prin D2, IC1A dă un plus lui IC1B, care dă o masă lui C2, prin R7. În aceste condiții, IC1E blochează pe T3 prin R11, în timp ce C3 se descarcă prin R10;

- ieșirea lui IC2B blochează pe T4;

- Fără importanță pe moment, IC1F blochează de asemenea pe T3 prin D7.

Deschiderea unei uși dă o masă lui D8. ieșirea lui IC2D este în O, dar ea nu are nici un efect asupra punctului de joncție D2-IC1B din cauza prezenței lui R15 și D11.

Deschiderea capotei dă o masă lui D9. ieșirea lui IC2E este în 1 logic. Prin R16 și D15, această ieșire înaltă trebulează încarcă aproape instantaneu pe C2, dar acest lucru nu este posibil din cauza lui R16 și a ieșirii joase a lui IC1B. ieșirea joasă a lui IC2F este anihilată de prezența lui R17; D12, astfel că ea nu poate influența joncțunea D2-IC1B.

2 - Cheia de contact întreruptă

- T1 se blochează prin R2, iar C1 se încarcă prin R3. Constanta de timp C1-R3 este în jur de 2 minute;

- T3 continuă să fie blocat de IC1F și D7;

- Când C1 este încărcat, IC1A basculează, ieșirea sa eliberează pe T3 prin IC1F, ca și bistabilul format din IC1B-R5-IC1C-D3. ieșirea joasă a lui IC1B este menținută de R4 pe intrarea sa;

- Când o ușă este deschisă, nivelul jos aplicat de R15-D11 este activ, IC1B își schimbă starea și această stare este menținută de R5, IC1C și D3;

- C2 se încarcă prin R7 (este vorba de o întârziere de intrare). Timpul de întârziere este de 15 secunde. Dacă dorim ca acest timp să fie mai mic, micșorăți R7. ieșirea lui IC1E devine înaltă după 15s, T3 conduce, RE1 și RE2 anclansă și RE3 declanșează;

- Prin IC1E, R10, C3 se încarcă (timpul de alarmă). Pentru a rămâne în limite acceptabile, temporizarea a fost aleasă de 35s. După 35s, ieșirea lui IC2B este în 1. T4 conduce datorită lui R12. C4 se încarcă foarte rapid;

- T4 aplică o masă lui IC1C prin D13. Prin prezența lui D3, bascula își schimbă starea și rămâne astfel datorită lui R4;

- C2 este descărcat prin D14, iar C3 prin D16. În aceste condiții, T4 își schimbă rapid starea. Acest efect a fost neutralizat prin prezența lui C4;

- C2, C3 sunt descărcate de R6-D5 și R9-D10;

- Deschiderea capotei motorului provoacă aceleși efecte ca și deschiderea unei uși, dar cu încărcarea rapidă a lui C2 prin R16-D15 și alarmă imediată prin T3;

- Dacă o ușă rămâne continuu deschisă, alarma durează 35s, la o pauză de 15s, funcționează iar 35s etc., până când ușa va fi închisă sau alarma neutralizată;

- În cazul în care capota rămâne continuu deschisă, alarma este continuu până este închisă sau neutralizată;

- Descrișă ca mai sus, alarma funcționează foarte bine și în mod silentios. Totuși, înțând cont de punerea în serviciu automată a alarmei, este recomandat a utiliza în interior un buzzer. El ne amintește că alarma trece la detecția unei intrări;

- Buzzerul este activat de fiecare dată când ieșirea lui IC1B este în 1, după înregistrarea unei intrări sau a deschiderii capotei motorului, aceasta după întârzierea fixată. D4 este o diodă Zenner ce suprimă tensiunea reziduală a lui IC1B. Prin R8, T2 conduce și activează buzzerul;

- RETINEȚI! când buzzerul funcționează, dacă manevram comutatorul Y fără să punem cheia de contact, efectul sonor al buzzerului va dispărea, iar alarma trece automat în poziția "totul tăiat", chiar dacă sirena nu funcționează. Alarma trebuie rearmată prin butoanele BP1 și BP2;

- C6 servește asigurării unei constante antibasculă pentru IC1B, dacă există un nivel parazit de tensiune.

- Se înțelege că, dacă firele alarmei sunt tăiate, mașina este imobilizată.

Rolul întrerupătorului Z

Când lăsați mașina în locuri dosnice, cu câteva secunde înainte de a opri motorul apăsați pe Z, astfel încât motorul să aspire benzina ce mal rămâne pe furtun. Atenție, însă, nu apăsați niciodată acest buton în mers, pentru că motorul se va opri instantaneu.

REALIZAREA PRACTICĂ

Circuitul placat este prezentat în figura 2, iar amplasarea componentelor în figura 3. După cum se poate vedea, circuitul este simplu placat.

Recomand a nu schimba valorile componentelor R4, R5, R15, R16, R17, C4.

Nu există reglaje de realizat, doar modificarea perioadei de temporizare, dacă dorim acest lucru.

Inainte de a realiza circuitul placat, recomand a cumpăra releele. RE1 și RE2 sunt relee de 12 V, care trebuie să suporte pe contacte un curent de 8A. RE3 este tot un releu de 12V, ce trebuie să suporte pe contacte un curent de 3A.

Consumul general al montajului depinde de RE3. Cu un model ce are un curent de 40mA, curentul general este de 50mA.

(Continuare în pagina 16)

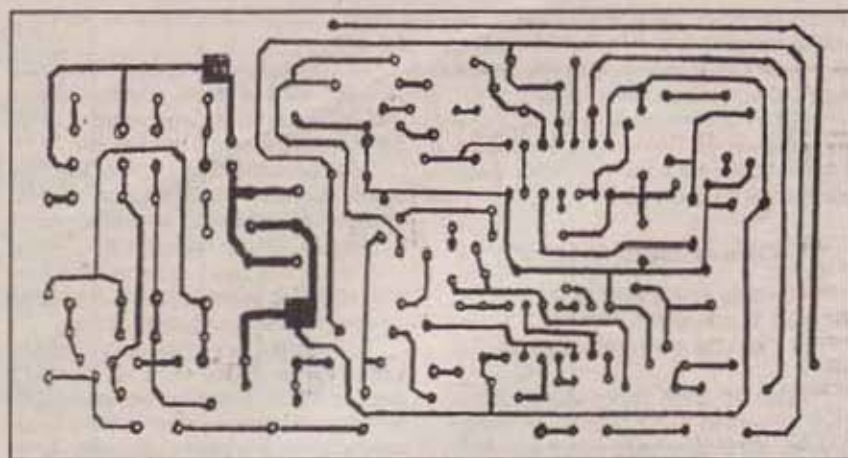


Fig. 2

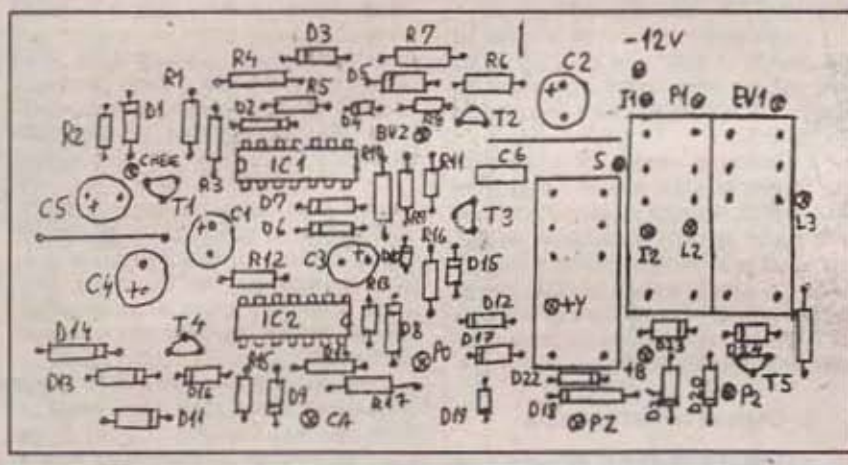


Fig. 3

(Urmare din pagina 17)

trică față de vârful camei, jocul final J_2 va difera de cel inițial. Aceasta va face condițiile aprinderii să se modifice, determinând procesul corect de producere a scânteii. După cum se vede din figură 3, dacă bratul contactului mobil este poziționat corect, atunci în timpul funcționării dispozitivului vacuumatic distanța maximă dintre contacte nu se schimbă la modificarea turării și sarcinii, adică $J_1 = J_2$.

Dacă cum se poate să dacă bratul contactului mobil este corect plasat în raport cu cama? Indicația cea mai sigură o constituie valoarea unghiului $Dwell$, a căruia semnificație este reamintită cu ajutorul figurii 4. Se vede aici că intervalul unghiular dintre două acțiuni ale piciorului brățului contactului mobil se compune din două perioade. Prima dintre acestea, α_1 , se întinde pe durata menținerii deschise a contactelor, iar cea de-a doua corespunde timpului în care acestea sunt închise. Raportul

$$\frac{\alpha_2}{\alpha_1 + \alpha_2} \times 100,$$

exprimat în procente, este numit unghi $Dwell$. În unele cazuri, acest unghi se asimilează cu α_2 , exprimându-se în grade. De exemplu, pentru motorul autoturismului „Dacia 1300”, valoarea unghiului

lui $Dwell$ exprimată în grade este de $57^\circ \pm 2^\circ$ și în procente $63\% \pm 3\%$.

Din figurile prezentate, se poate observa că unghiul $Dwell$ depinde de distanța J dintre contacte. O distanță J mai mare conduce la reducerea unghiului α_1 și, implicit, la mărirea lui α_2 , ceea ce provoacă mărirea unghiului $Dwell$, și invers. Așadar, indirect, acest parametru poate servi ca parametru de diagnosticare pentru controlul distanței dintre platine fără demontarea capacului ruptor-distributoriului.

S-a văzut că, dacă bratul platinei mobile este poziționat incorrect, în timpul funcționării motorului distanța maximă dintre contacte J se modifică, fapt care se traduce și prin schimbarea valorii parametrului $Dwell$. Prin urmare, dacă, folosind un dwellmetru, se constată că, accelerând motorul, valoarea unghiului $Dwell$ suferă oscilații, înseamnă că dispozitivul vacuumatic a fost montat incorrect.

Pentru a restabili situația, se extrage siguranța 13 (fig. 1) de pe axul 6 și se rotește sectorul danturat 7 cu un dinte într-un sens oarecare. Se remonteză dispozitivul și se măsoară unghiul $Dwell$ tot în regim tranzitoriu (prin accelerare). Dacă valoarea parametrului nu se mai modifică, înseamnă că am căzut pe soluție. În caz contrar, operațiunea se repetă, rotind sectorul 7 într-un sens sau altul cu unul sau

(Urmare din pagina 15)

TESTE PENTRU VERIFICAREA FUNCȚIONĂRII

Conectați cheia de contact, după care cele trei LED-uri vor lumina. Comutați pe Y și LED-ul 1 se va stinge.

Apăsați BP1 și LED-ul 2 se va stinge. Apăsați BP2 și LED-ul 3 se va stinge.

Deschideți o ușă, după ce ați scos cheia din contact, și cronometrați timpul până la declanșarea alarmei. Timpul scurs până la pornirea buzzerului este timpul de ieșire, iar timpul până la pornirea sirenei este timpul de intrare.

Conectați cheia de contact; buzzerul se va opri, ca de altfel și sirena. LED-urile 2 și 3 se aprind. Pentru a rearma, apăsați BP1 și apoi BP2.

În același fel procedați și cu capota.

După o nouă întârziere de ieșire, deschideți o portieră; buzzerul va funcționa. Apăsați pe Y și sunetul va dispărea. Conectați cheia și LED-urile 1, 2 și 3 se vor aprinde.

Pentru a testa electrovalva, porniți motorul, deconectați pentru scurt timp o bornă a bateriei și, evident, motorul se va opri. LED-ul 3 se va aprinde și nu veți mai putea porni motorul.

Nu uități, dacă duceți mașina la reparat la service, neutralizați alarma din comutatorul Y și basculați robinetul manual al electrovalvei.

mai mulți dinți, până când, la modificarea turării, se observă că unghiul $Dwell$ rămâne constant, iar valoarea sa se încadrează în limitele de toleranță prescrise pentru vehiculul respectiv.

În final, dacă dispunem de un stroboscop și un vacuumetru, este bine să se verifice și caracteristica de avans dată de dispozitiv, prezentată în fig. 5. Verificarea se face chiar pe motor, montând în paralel cu corectorul vacuumatic, pe conducta de legătură cu carburatorul (galeria de admisiune), un vacuumetru; acesta poate fi un simplu tub de sticlă în formă de U cu înălțimea brațelor de 500 mm, umplut pe jumătate cu mercur și prevăzut cu o scală gradată în milimetri.

Stroboscopul indică momentul produceri scânteii electrice exprimat unghiular, iar vacuumetru dă valoarea de presiune. Prin blocarea corectorului centrifugal și variația turării, se întocmește un grafic în care se înscriv punctele de valori de presiune (mmHg) și avans α° . Curba obținută prin unirea punctelor determinate astfel trebuie să se înscrive în plaja de valori admisibile indicate de uzină și arătată în figura 5 prin suprafața hașurată. Dacă linia obținută experimental ieșă chiar și numai parțial din domeniul menționat, atunci dispozitivul trebuie schimbat, procedându-se așa cum s-a arătat mai sus.

AVANSUL VACUUMATIC

M. STRATULAT

In general, atunci când se controlează și se reglează instalația de aprindere, dispozitivului vacuumatic de reglare a avansului î se acordă o atenție minoră. Cu toate acestea, corecta sa funcționare este esențială pentru comportarea motorului și realizarea performanțelor sale nominale de putere și consum.

Din aceste motive, numai controlul deplasării libere a tijei membranei și a stării acestora nu sunt suficiente. Testarea acestui dispozitiv prin scoaterea furtunului de legătură cu carburatorul poate da indicii asupra stării sale; dacă la această probă se constată că turata motorului scade, înseamnă că dispozitivul este defect și trebuie să fie înlocuit. Dar, așa cum se va vedea, nici acest test nu arată

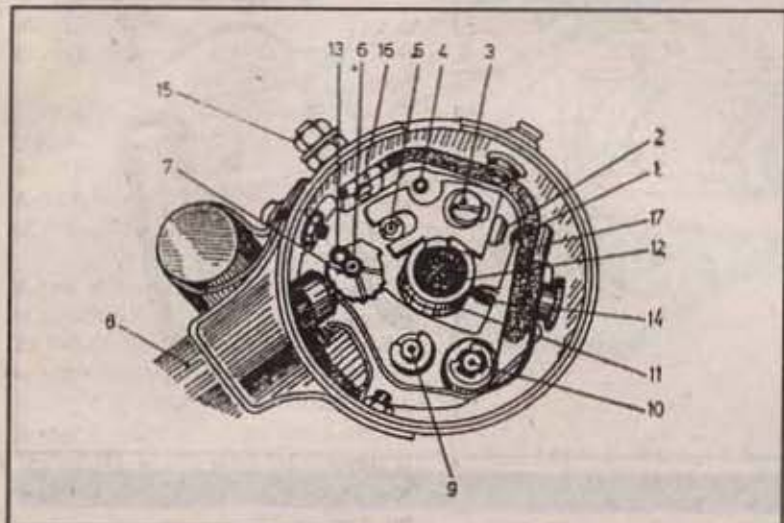


Fig. 1

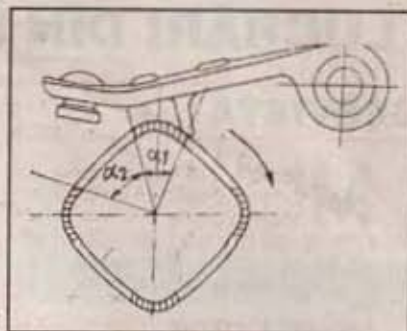


Fig. 4

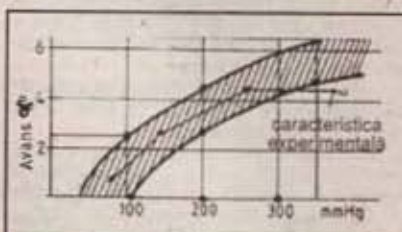


Fig. 5

dacă dispozitivul este montat corect sau nu. Montajul incorrect al capsulei vacuumatice se poate produce atunci când se operează înlocuirea ei.

Iată, la „Dacia 1300”, de exemplu, pentru a înlocui această parte a instalației de aprindere, se destacă cele două piulițe care fixeză corectorul de avans pe corpul ruptor-distributiorului (deico) și se extrage apoi siguranța elastică 13 (fig. 1) de pe axul sectorului dințat excentric 7. Înainte de scoaterea acestuia din urmă de pe ax, se marchează poziția sa, pentru ca la montare să fie plasat exact în aceeași poziție. După scoaterea sectorului dințat și a tijei de pe axul 6, regulatorul devine liber și poate fi îndepărtat. Montarea celui nou se face în ordine inversă.

Acestea sunt lucruri cunoscute îndeobște. Dar ce se știe mai puțin este că o pozițare defectuoasă a pârghiei pe care este montat axul 10 al brațului contactului (platină) mobil 1 conduce la o proastă funcționare a ruptorului.

Într-adevăr, o deplasare asimetrică a piilorului 14 al brațului contactorului mobil 1 față de axa de simetrie a vârfului camel 11 face ca, odată cu variația turatiei și sarcinii, să se schimbe și distanța dintre contacte (platine), deci și unghiul Dwell.

Cum se explică aceasta?

Explicația poate fi găsită examinând figura 2a, în care se reprezintă ansamblul ruptorului în poziția de maximă deschidere a contactelor, când corectorul vacuumatic este inactiv (la depresiuni nule sau când furtunul de legătură a fost desfăcut). De fapt, în această situație, se regleză jocul J_1 dintre contacte. La intrarea în funcțiune a corectorului, centru de rotație al brațului contactorului mobil (axul 10, fig. 1) se deplasează din poziția A în B (fig. 2b) pe distanța d . În cazul în care punctul de deschidere maximă se plimbă din M_1 în punctul M_2 , suferind o deplasare asim-

(Continuare în pagina 16)

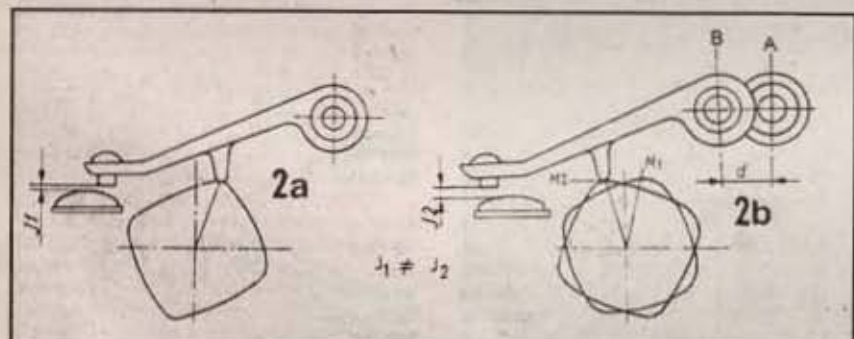


Fig. 2

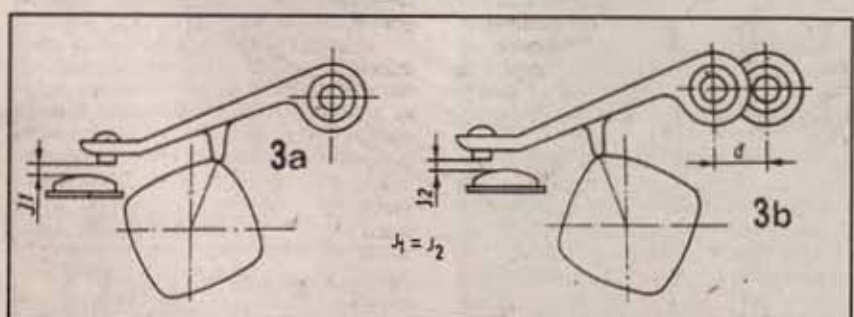


Fig. 3

LUCRĂRI DIN PIELE naturală și sintetică (III)

SERVIETĂ

Materiale necesare: folie de material plastic ce imită pielea; carton gros de 1–2 mm (recuperat de la coperta unui bloc de desen folosit); ată de cizmarie (unsă cu parafină); două capse-buton ori catarame cu zăvor glisant.

Prelucrare și montare. În desenul 4 al figurii A vedeti servietă completă, în poziție deschisă (stânga) și închisă (dreapta). Călăuzindu-vă după acest desen și după cele cu detalii, stabiliți singuri dimensiunile obiectului, apoi trasați și decupați piesele componente, pe care le asamblați, treptat, prin coasere, astfel:

Potrivit desenului 1, montați capsele sau cataramele de închidere G și K pe marea piesă exterioară A.

Coaseți împreună, la o extremitate a piesei A, bucățile E, P și D, introducând și cartonul F, care dă un plus de rigiditate servietei. Mai înainte coaseți, însă, pe E și P (desenul 1), pentru a forma micul buzunar central T.

Montați piesa interioară N peste piesa L, aşa cum vedeti în H (colțul din dreapta sus). Dar, înainte de a coase, introduceți extremitățile piesei H în creștăturile laterale f-f (desenul 3).

Coaseți la un loc, pe bucața A, piesele L și N.

În desenul 4, vedeti lucrarea terminată. Rețineți că orificiul mare O din piesa L alcătuiește două buzunare pentru un stilou (S) și un cuțit (C) sau crelon, pix, foarfecă etc. Piesa E formează două componențe pentru păstrat plicuri, un carnet de notite etc. În buzunarul T puteți pune mărci poștale sau rechizite. Piesa P formează un spațiu mare, în care își găsește locul calete, colii de hârtie, clasoare cu mărci filateliice etc. În sfârșit, piesa L compune compartimentul principal, în care puteți pune cărți sau alte obiecte mai voluminoase.

În desenul 5, vedeti cum puteți monta și două curele de susținere, ce se închid cu catarame sau zăvoare glisante.

Această servietă poate fi folosită atât pentru mers la școală cât și ca trusă de călătorie.

SERVIETĂ-GEAMANTAN COMPACTĂ

În centrul figurii B vedeti atât servietă construită cât și partile ei detasabile (pentru jumătatea de jos, identică celei superioare), prezentate în ordinea lor de montare. Obiectul se compune din următoarele piese: 1 = mâner, 2 = ramă metalică, 3 = cadru de lemn, 4 = capac rigid, 5 = căpușeala interioară a capacelor, 6 = învelișul exterior al capacelor, 7 = balama, 8 = broască.

Materiale necesare: un mâner (care poate fi recuperat de la un vechi geamantan sau o servietă uzată); tablă de aluminiu sau fier galvanizat (vopsit cu bronz de aluminiu) groasă de 0,2–0,3 mm, pentru piesa 2, șipci din scândură de brad groasă de 15 mm, pentru cadrul 3; tablă (indiferent metalul) groasă de 0,15–0,20 mm, pentru capacele 4; țesătura tip făș

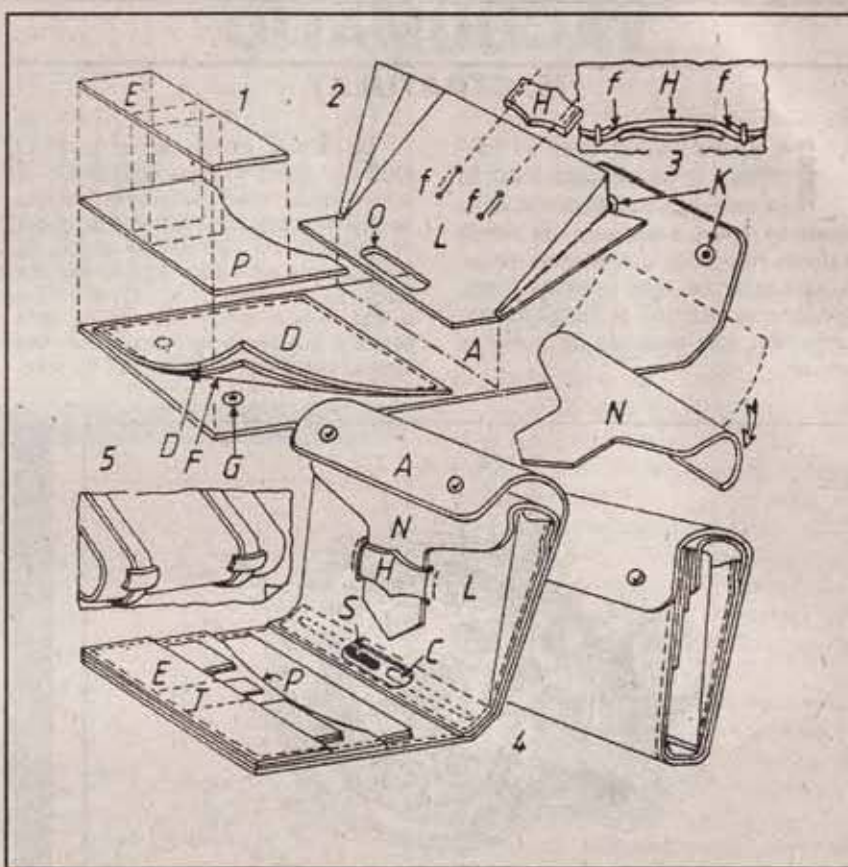


Fig. A

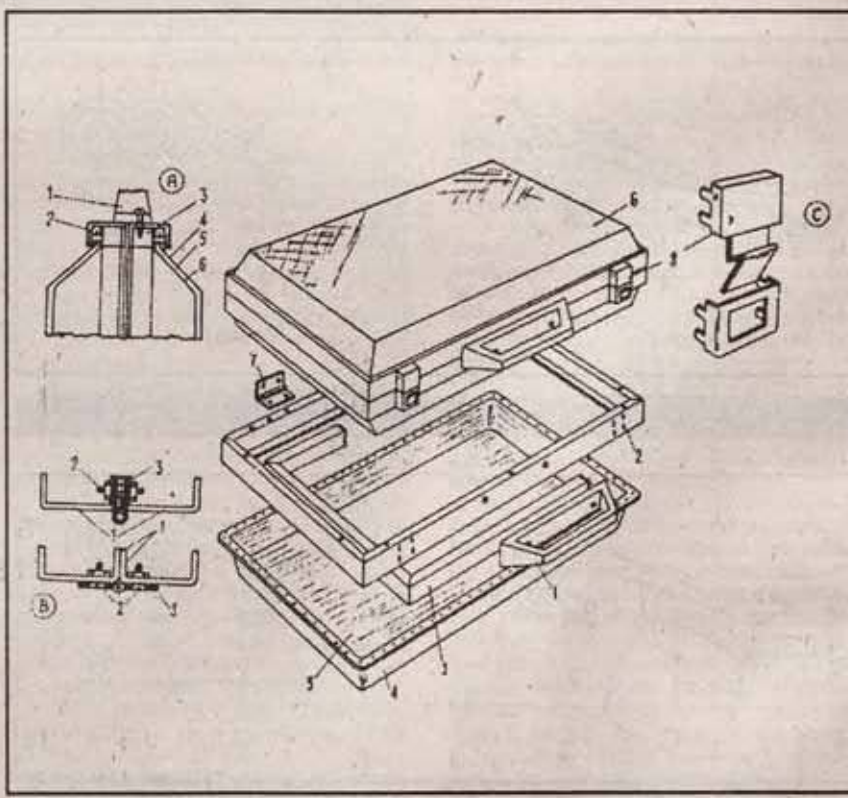


Fig. B

sau folie subțire de material plastic (de culoare neagră, cafenie sau gri), care imită pielea, pentru învelișul exterior al celor două capace 4; două balamale metalice sau balama-metraj de lungimea servietei; șuruburi pentru lemn, două braște cu chei de geamantan sau servetă, prenandez.

Prelucrare și montare. Stabiliti singuri dimensiunile servietei, după care lucrați,

încălțăminte de casă (îndeosebi în timpul iernii), dar și pe stradă, în zile cu vreme uscată.

Materialul de bază constă din resturi de blana (ce se folosesc întoarsă cu pielea în afară), piele ori material plastic ce imită blana și pielea sau stofă groasă, tricotaj din fire sintetice tip lână etc. recuperate de la obiecte de îmbrăcăminte mai

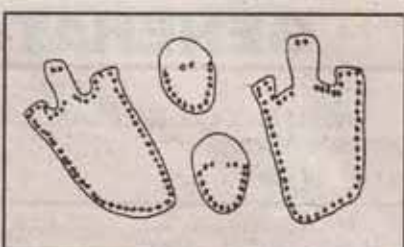


Fig. C

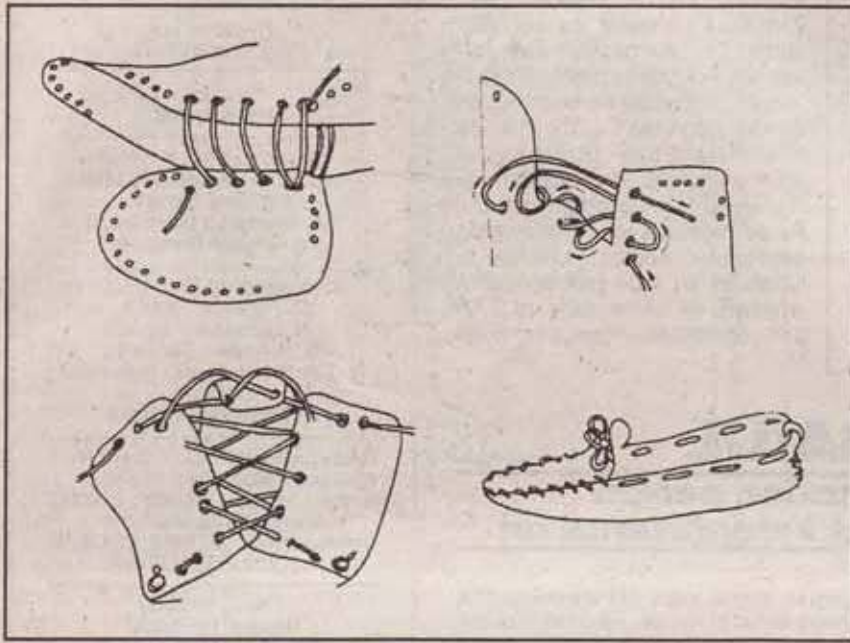


Fig. D

mai întâi, cele două capace din tablă (sau din folie rigidă de material plastic încălzită, ori chiar din placă), potrivit formei pe care o vedeați în desen. Cel mai simplu este să tălați foaia dreptunghiulară de tablă la colțuri și să-l îndoiti marginile în sus, formând un fel de tavă pentru copt. Apoi îndoiti în formă de L aceste margini de jur împrejur, alcătuind rama, în care dați mici orificii cu un burghiu subțire. Înveșmântați capacele cu căptușeala interioară 5 și învelișul exterior 6 (acesta lipit cu prenandez). Îndoiti marginile materialelor peste rama cu orificii (de care se vor fixa cu șuruburi). Confectionați apoi (cu deosebită atenție la respectarea dimensiunilor și a poziției orificiilor) piesele 2 și 3. Începeți montajul general, orientându-vă după detaliile din desenele A, B și C. În desenul-detaliu A (vedere în secțiune), cifrele corespund pieselor din imaginea centrală, de ansamblu. În desenul B (care prezintă două variante de montare a balamalelor 7), 1 = corpul servietei, 2 = balama, 3 = șuruburi cu piulițe. Desenul-detaliu C arată modul în care se fixează cele două braște (dar puteți alege, desigur, și un alt model, diferit de cel din figură). Mănerul 1 îl veți monta cu ajutorul unor șuruburi.

MOCASINI

Urmând indicațiile din figurile C și D (care prezintă fazele de lucru), puteți confectiona o pereche de mocasini comozi și călduroși. Aceștia pot fi purtați mai ales ca

mari, scoase din uz (cojoace, bunde, veste, căuciuli, paltoane, fulare etc.).

Modul de lucru: începeți prin a decupa, din hârtie, tipările fiecărei piese componente, desenate după forma piciorului pe care lucrăți mocasini. Lăsați în plus o margine pentru îmbinări (cusături). Pentru a monta bucățile mocasinului, folosiți fâșii subțiri din piele sau șnururi colorate (care pot fi achiziționate de la mercerii) ori sfoară rezistentă din material plastic.

Pentru mocasini confectionați cu scopul de a fi purtați pe stradă sau prin curte, trebuie ca talpa să fie întărită, spre a rezista la uzură. În acest scop, tăiați tot din hârtie câte un model al fiecărui picior (folosind, eventual, o altă perche de încălțăminte, gata confectionată); apoi aplicați modelele peste bucăți mai groase din material plastic, duroflex ori bucăți de piele sau plastic recuperate de la serviete sau poșete uzate și decupați talpa. Lipiți această piesă (folosind prenandez) peste talpa mai moale a mocasinului. Puneți deasupra o greutate, pentru ca lipirea să se facă sub presiune (folosiți, de pildă, câteva căramizi sau pietre așezate pe bucăți de scândură).

În atenția colaboratorilor

Revista este deschisă oricărui cititor, singurul criteriu pentru publicare fiind calitatea articolului.

Colaboratorii sunt rugați să ne trimită materialele numai dactilografiate, însotite de indicații bibliografice complete (autor, titlu, editură, an etc.) și ilustrații corespunzătoare (desen în tuș negru și, dacă se poate, fotografii de ansamblu sau detalii).

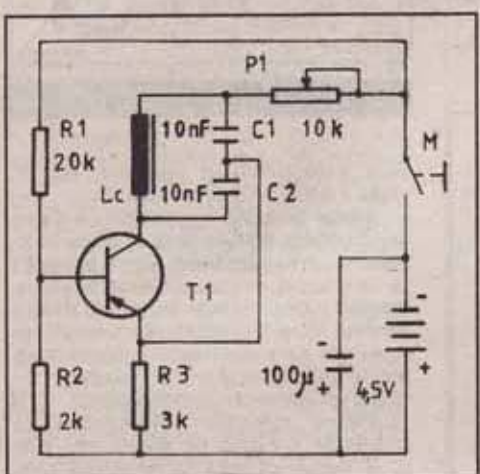
Pentru ca autorii să-și primească drepturile bănești integrale, colaborările vor fi însotite de adresa și telefon.

Manuscisele nepublicate nu se restituie.

Răspunderea pentru afirmațiile, soluțiile și recomandările publicate revine integral autorilor respectivi.

GENERATOR MORSE

Cititorul NICOLAE SĂLCEANU din Timișoara, elev, ne solicită schema unui generator Morse.



Schema de principiu a generatorului cuprinde un tranzistor de audiofreqvență (EFT321, EFT122, OC70, OC71, PI3A, P14 etc.) conectat ca oscillator audio. Circuitul oscilant este format din inductanță căștii (2000Ω) în care se ascultă semnalul și din condensatoarele C_1 , C_2 (10...20 nF). Polarizarea tranzistorului este asigurată de rezistențele R_1 , R_2 și R_3 . Cu potențiometrul P_1 se regleză tonul (freqvența) semnalului audio. Punerea în funcțiune se face prin aplicarea tensiunii de alimentare (4,5 V) prin contactele manipulatorului M.

MUCEGAIUL

recomandări practice pentru prevenirea formării și îndepărtarea lui

Mucegai este denumirea dată „ciupercilor saprofite sau parazite ale cărora miceli și fructificații formează o masă păisoasă, filamentosă, de culoare albă, cenușie sau verde”. Aici ne vom referi doar la acele mucegaiuri care apar (în mod nedorit și dăunător) în locuințe, pe ziduri, mobilier și obiecte diverse.

Condițiile de bază care favorizează apariția mucegaiului sunt umezeala și hrana. Aceasta din urmă se găsește, adesea, în cieul sau cazeină cu care s-a zugrăvit, precum și în praf, urme de grăsimi etc.

Prevenirea apariției mucegaiului pe perete se face prin folosirea unor materiale de zugrăvit fără clei, cazeină, făină, amidon. De asemenea, prin pensularea peretilor cu o soluție saturată de sulfat de cupru, folosindu-se o bidinea, sau prin pulverizare cu o pompă oarecare (eventual aceea pe care o au unele aspiratoare de praf).

În soluția sau adezivul folosit la zugrăvit ori la lipirea tapetului (dar NU în aracătin), inclusiv în vinarom, adăugăți 100 g sulfat de cupru (piatră vânătă) sau sulfat de fier (calăican) la 10 l de soluție; ori o soluție de 2% oxifenolat de sodiu.

În cursul anotimpului rece, se va evita ca aerul cald și umed din bucătărie să pătrundă în restul locuinței. O metodă de mare eficiență pentru prevenirea formării mucegaiului în locuință (mai ales a celui provenit din condens) constă în aplicarea pe partea interioară a peretilor reci a unui material termoizolant ușor (plăci din BCA, polistiren expandat, pal etc.). Aceste plăci vor fi lipite de perete cu ajutorul prenandezul, după care vor fi tenute cu substanțe anticondens (procureate de la magazinele cu vopsele și chimicale tehnice), care sunt hidrofobe și biocide.

Îndepărtarea punctelor sau petelor mici de mucegai care apar în fază de început se va face prin spălare cu un burete înmițuit într-o soluție apoasă de detergent, radare cu lama și apoi pensularea zonei afectate cu un

fungicid. Acesta poate fi o soluție de 20% clorură de var în apă sau soluție de 10% sulfat de cupru ori sulfat de fier. Dacă mucegaiul s-a instalat pe perete acoperit cu tapet, se va proceda mai întâi la îndepărtarea tapetului de pe tot peretele afectat. Aplicarea substanțelor fungicide se va face folosindu-se manusi de protecție din cauciuc sau material plastic. Dacă zona cuprinsă de mucegai este mai mare, după curățare se va repeta tratamentul cu fungicide la un interval de zece zile.

Pentru îndepărtarea mucegaiului apărut pe părțile din spate ale mobilierului, se spală, se rad locurile cu hârtie abrazivă (sticla sau smirghel), după care se pensulează cu esență de terebentină (inflamabilă) sau soluție apoasă de 5% hidroxid de sodiu (soda caustică – atenție, putem corozivă!).

La fel se procedează pentru îndepărtarea petelor de mucegai de pe peretei exteriori ai butoaierelor, putinilor, lăzilor, grinzilor din pînă și magazie etc. Altă soluție: se dizolvă 25 g acid salicilic într-un litru de spirit tehnic și cu soluția obținută se pensulează de două ori exteriorul (bine curățat mecanic) al butoaierelor. Interiorul butoaierelor se dezinfecțează prin umplerea cu o soluție de 3% soda caustică ori una obținută prin dizolvarea unui kilogram de carbonat de sodiu (sodă de rufe) în 100 l de apă caldă. Se lasă patru-cinci zile, după care se spală de două-tri ori cu multă apă curată.

Îndepărtarea petelor de mucegai de pe țesăturile albe se face prin tamponarea lor cu o soluție de 10 g acid oxalic în 100 ml apă sau 5 g perborat de sodiu în 100 ml apă, după care se împingează cu apă. Țesăturile colorate vor fi tamponate cu o soluție de 3 ml amoniac dizolvat în 100 ml apă rece. Limppezirea se face cu apă în care s-a adăugat puțin otet. Soluția amoniacală este utilă și pentru îndepărtarea petelor de mucegai de pe cărți.

TEHNİUM

International 70

Revistă pentru constructorii amatori
Fondată în anul 1970

Serie nouă, Nr. 315
IANUARIE 1999

Editor
Presa Națională SA
Piața Presei Libere Nr. 1, București

Redactor șef
Ing. Ioan VOICU

Redactor
Horia Aramă

Control științific și tehnic
Ing. Mihai-George Codămaș
Ing. Emil Marian
Fiz. Alexandru Mărăculescu
Ing. Cristian Ivanciovici

Corespondenți în străinătate
C. Popescu - S.U.A.
S. Lozneanu - Israel
G. Rotman - Germania
N. Turuță & V. Rusu - Republica Moldova
G. Bonihady - Ungaria

Redacția: Piața Presei Libere Nr. 1
Casa Presei, Corp C, etaj 1,
camerele 119-122, Telefon: 2240067,
Interior: 1186 sau 1444
Telefon direct: 2221916; 2243822
Fax: 2224832; 2232272

Corespondență
Revista TEHNİUM
Piața Presei Libere Nr. 1
Casă Poștală 68, București - 33

Secretariat
Telefon: 2243663/1186

Difuzare
Telefon: 2232683

Abonamente
la orice oficiu postal
(Nr. 4120 din Catalogul Presei Române)

Colaborări cu redacțiile din străinătate
Amatorska Radio (Cehia), Elektor & Funk Amateur (Germania), Horizon Technika (Polonia), Le Haut Parleur (Franța), Modelist Constructor & Radio (Rusia), Radio-TV Electronika (Bulgaria), Radiotehnika (Ungaria), Radio Rivista (Italia), Tehnike Novine (Iugoslavia)

Grafica Mariana Stejereanu

DTP Irina Geambăsu

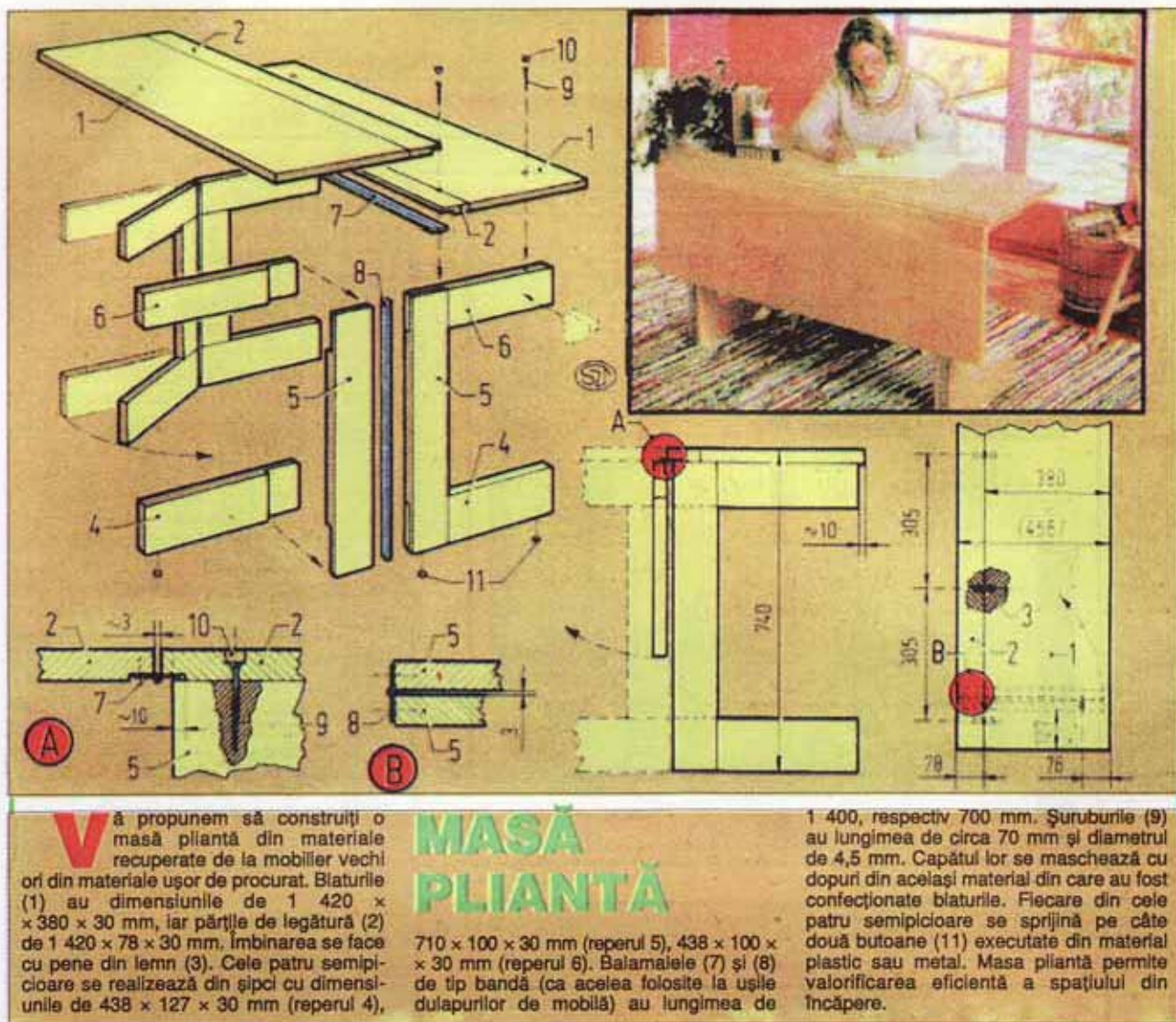
Editorul și redacția își declină orice responsabilitate în privința opinilor, recomandărilor și soluțiilor formulate în revistă, aceasta revenind integral autorilor.

Volumul XXIX, Nr. 315, ISSN 1224-5925

© Toate drepturile rezervate.
Reproducerea integrală sau parțială este cu desăvârsire interzisă în absența aprobării scrisă prealabilă a editorului.

Tiparul Romprint SA

TEHNİUM – ianuarie 1999



Vă proponem să construjiți o masă pliantă din materiale recuperate de la mobilier vechi ori din materiale ușor de procurat. Blaturile (1) au dimensiunile de $1\ 420 \times 380 \times 30$ mm, iar părțile de legătură (2) de $1\ 420 \times 78 \times 30$ mm. Îmbinarea se face cu pene din lemn (3). Cele patru semipicioare se realizează din șipci cu dimensiunile de $438 \times 127 \times 30$ mm (reperul 4),

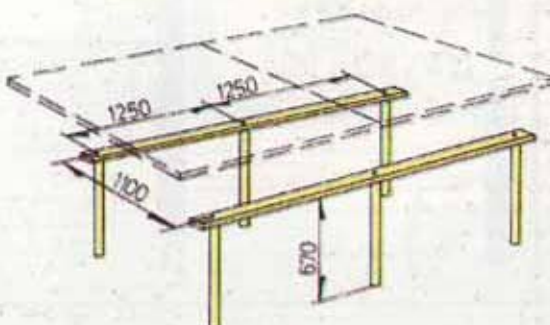
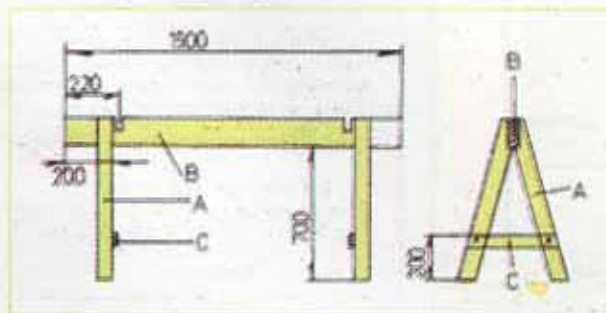
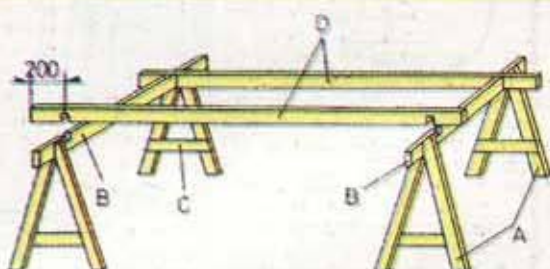
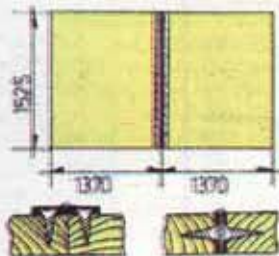
MASĂ PLIANTĂ

$710 \times 100 \times 30$ mm (reperul 5), $438 \times 100 \times 30$ mm (reperul 6). Balamalele (7) și (8) de tip bandă (ca aceleia folosite la usile dulapurilor de mobilă) au lungimea de

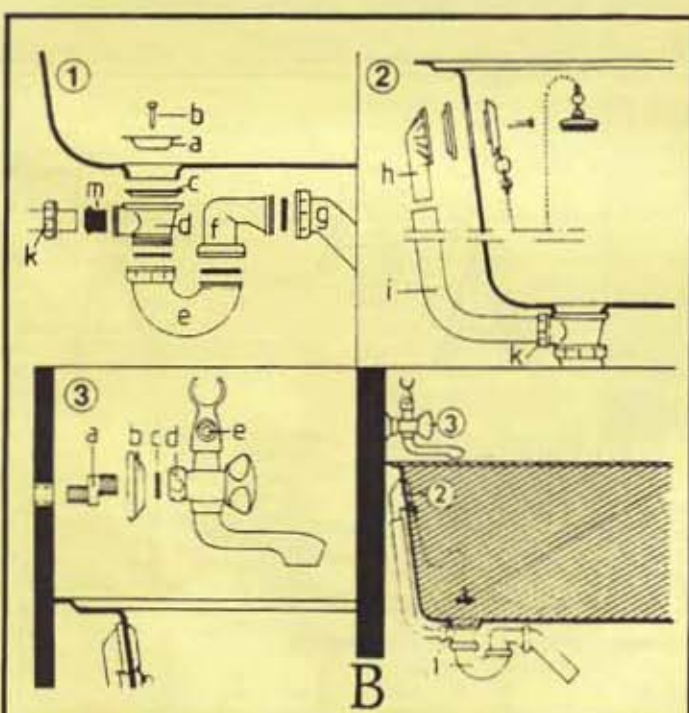
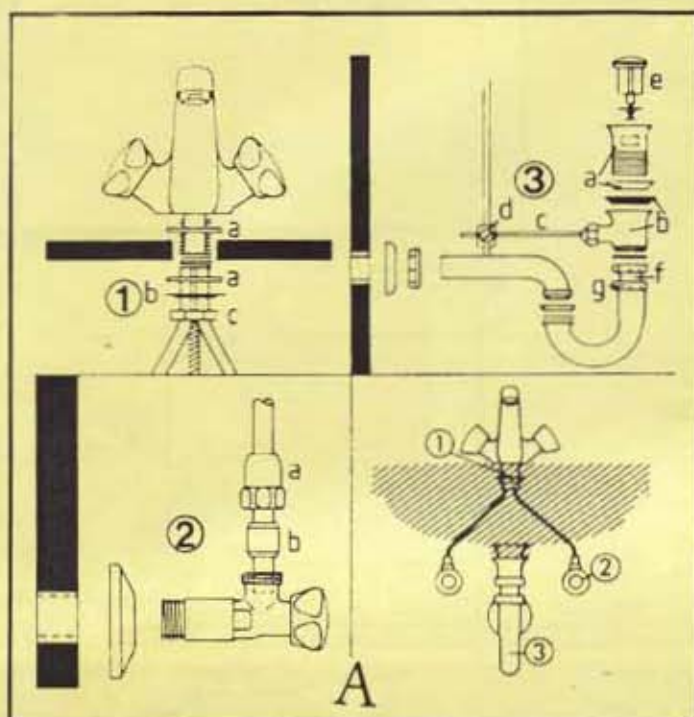
1 400, respectiv 700 mm. Șuruburile (9) au lungimea de circa 70 mm și diametrul de 4,5 mm. Capătul lor se maschează cu dopuri din același material din care au fost confectionate blaturile. Fiecare din cele patru semipicioare se sprijină pe căte două butoane (11) executate din material plastic sau metal. Masa pliantă permite valorificarea eficientă a spațiului din încăpere.

MASĂ DE PING-PONG

Vă prezentăm un model de masă demontabilă destinată tenisului de masă. Cele două semitâblii ale mesei au dimensiunile de $1\ 525 \times 1\ 370$ mm și sunt unite printr-un sistem de prindere cu balamale tip bandă.



MONTAREA INSTALAȚIEI DE APĂ-CANAL dintr-o cameră de baie (I)



Într-o astfel de încăpere se instalează de obicei:

a) o chiuvetă (spălător) cu baterie care face legătura la aducția de apă caldă și rece, precum și un sifon de evacuare a apel uzate;

b) o cadă (vană) cu baterie ce include și cordonul flexibil pentru duș, plus un sifon (ventil) de evacuare, la care se cuplează teava de prea-plin;

c) în loc de cadă se poate instala (în spații mici și mai economic) doar un duș, care cuprinde o baterie simplă și un vas de evacuare scurt, de formă pătrată, puțin adânc;

d) un vas WC și rezervorul de apă aferent (suspendat pe perete sau așezat chiar pe vas; acesta din urmă pornește apa de curățat fie prin tragerea unei tije cu manetă – fie prin împingerea ei – model de preferat). Vasul are și un cot de evacuare la canal (există diferite tipuri);

e) eventual și un vas bideu cu baterie și sifon de evacuare la canal.

De regulă – pentru o instalatie nouă – se cumpără, oricare dintre aceste vase, în garnitură completă, cu toate piesele care o compun: garnituri, piulițe, holendere, racorduri flexibile sau fixe cu holendere, sifon etc. De-a lungul timpului, când una dintre componente se uzează, se face numai înlocuirea acesteia, cunoșcând locul ei și modul de a lucra. Persoanele care știu să mânuiască unele simple (chei fixe sau reglabile, clești, surubelnite) pot să monteze și să repară singure aceste instalări, făcând astfel economii importante la costul manoperei. Mai mult, ele sunt capabile să execute asemenea lucrări pentru alții, procurându-și câștiguri suplimentare.

Schemele prezentate în continuare arată cu precizie tipul, locul, numărul fiecărei piese dintre cele de mai sus. Este de reținut că nu sunt desenate garniturile din interiorul robinetelor, dar, ori de câte ori se cumpără o baterie nouă, este necesar să se verifice dacă aceasta este completă și bine lucrată (cu filete bune, scaune drepte).

La lucrări de montare prin înfiletare se va folosi întotdeauna izolare cu fire de călți unse cu vaselină sau puțină vopsea, pentru o bună și durabilă etanșeizare.

Instalarea chiuvetei se face după schema din figura A, care înfățișează trei faze principale: 1) montarea bateriei pe vasul de faiantă al chiuvetei și racordarea ei la sursele de

apă rece/caldă; piesele **a** sunt garnituri de cauciuc, **b** o șalbă, **c** o piuliță; 2) continuarea alimentării cu apă prin raccordurile **a** și **b**; 3) piesele componente ale surgerii apei uzate prin ventilul cu sită, garnituri și sifonul **g**, cu piulițe-holendere și garnituri. Ultimul desen (dreapta-jos) prezintă schița instalatiei terminate.

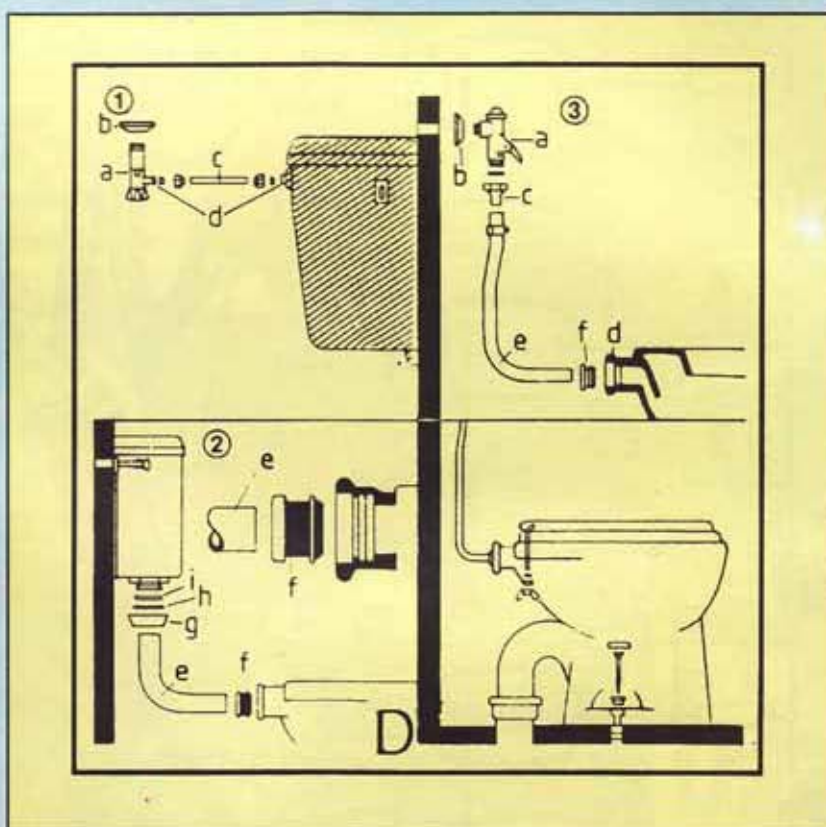
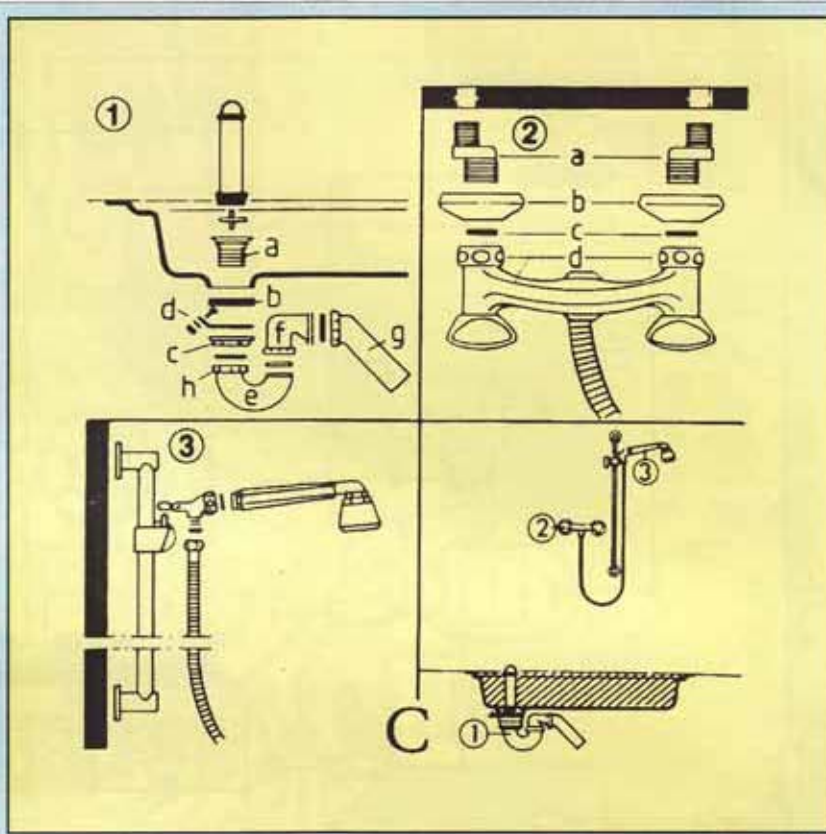
Cada de baie (din tablă vopsită sau din fibră de sticlă, fontă etc.). În desenul 1 din figura B sunt prezentate piesele sistemului de evacuare a apei uzate, începând cu sita **a** și surubul ei **b**, garnitura **c**, montarea conductei de prea-plin **k** (din teavă de pvc cu diametrul de 30 mm) la piesa **d**, care, printr-o garnitură de cauciuc, se cupleză la colțul **f** și conducta **g** (ce merge la sifonul de pardoseală). Desenul 2 prezintă detalii de montaj ale conductei de prea-plin. Desenul 3 înfățișează conectarea bateriei la conductele de alimentare cu apă (din perete), iar în colț din dreapta-jos se vede întreaga instalatie terminată, unde: 1 = sifonul de scurgere, 2 = prea-plinul, 3 = bateria.

Dușul se compune din trei părți (vezi figura C, desenul din colțul dreapta-jos): 1 = cada scurtă îngropată într-o platformă betonată, unde se găsește și sifonul de scurgere la canal; 2 = bateria fixată în perete la țevile de apă rece și caldă, din care pornește și dușul flexibil (3), ce se păstrează într-un suport montat pe perete (în șuruburi cu dibluri din material plastic).

În desenul 1 al figurii vedeti (ca și la cada de baie) piesele componente și poziția lor corectă de montare. Se va începe de jos în sus, adică dinspre tubul de scurgere **g**, prin piesele **f**, **e** și holenderul **h** până la ventilul cu sită **a**. Desenul 2 prezintă instalarea bateriei la țevile de apă caldă și rece din perete **a**. Pieseile **b** sunt capacele nichelate care maschează legăturile, **c** sunt garnituri de cauciuc, iar **d** este maneta de dirijare și dozare a celor două feluri de apă.

Vasul WC este alcătuit din rezervorul de apă cu armătura lui interioară legată la teava de aducție a apei reci **b** prin robinetul **a**, raccordul (fix sau elastic) **c** și holenderele sau piulițele **d** (ca în desenul 1 al figurii D).

În desenul 2 se prezintă în detaliu legătura dintre rezervorul de apă – fixat sus, pe perete – și vasul WC prin teava (din material plastic cu diametrul de 30 mm) și garnitura (tronconică) de cauciuc **f**. Aceeași legătură este prezentată și în desenul 3, dar fără rezervor de apă, ci direct, prin robinetul cu maneta **a**. Apa curge numai atunci când și cât timp este apăsată maneta **a**. În fine, desenul din colțul dreapta-jos înfățișează fixarea vasului la podea – prin șuruburi cu dibluri din material plastic

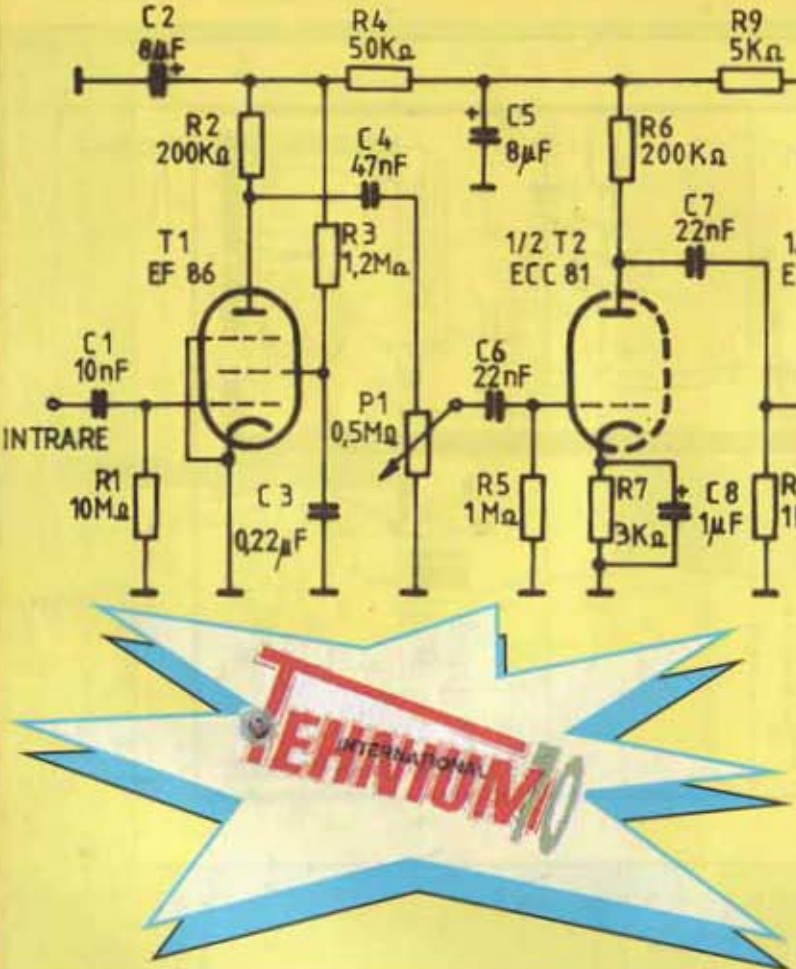
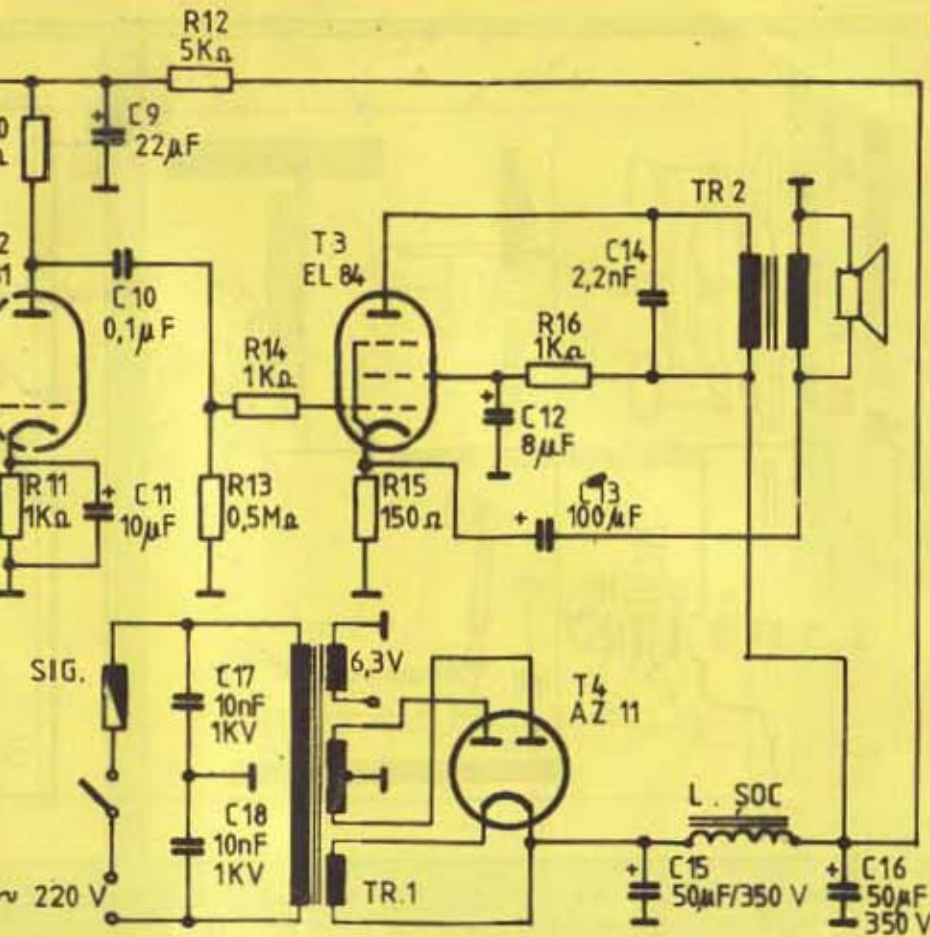


sau de tip conexpan (cu „aripioare” care se deschid la înșurubare) – și raccordul la canal printr-un cot de 90° din pvc, falianță ori metalic. La unele

vase, colțul care merge spre teava de canal situată într-o nișă din perete are o deschidere mai mare a unghiului.
(Continuare în numărul viitor)

LA CEREREA CITITORILOR

AMPLIFICATOR DE 4W



Transformatorul de rețea (Tr1) va avea o putere de aproximativ 80W. Tensiunea care se aplică pe anozii tubului AZ11 va fi de 220V. Filamentul tubului AZ11 se alimentează cu 4 V. Montajul poate fi asamblat pe o placă de cablu imprimat sau pe un săsiu de aluminiu cu cablu convențional.

Atenție! Date fiind tensiunile relativ mari (250–300 V) care alimentează tuburile din montaj, se vor respecta strictele normele de protecția muncii privind aparatatura cu tuburi electronice.

Un amplificator de putere medie (4W) este prezentat în figura alăturată. El este echipat cu patru tuburi, astfel: preamplificator de semnal și zgomot mic: EF86 (T1), amplificator de tensiune (T2) ECC81 și amplificator final (T3) EL84 sau echivalentul lui, 6P14P de producție rusească. La intrare pot fi aplicate semnale de valoare mică (de ordinul milivoltelor), de la un microfon, o doză piezo s.a.. Ca transformator de ieșire (Tr2) poate fi folosit cel de la televizore sau de la orice radioceptor cu tub final EL84.

Transformatorul de rețea (Tr1) va avea o putere de aproximativ 80W. Tensiunea care se aplică pe anozii tubului AZ11 va fi de 220V. Filamentul tubului AZ11 se alimentează cu 4 V. Montajul poate fi asamblat pe o placă de cablu imprimat sau pe un săsiu de aluminiu cu cablu convențional.